

МИНИСТЕРСТВО ОБРАЗОВАНИЯ И НАУКИ РОССИЙСКОЙ
ФЕДЕРАЦИИ

Федеральное государственное автономное образовательное
учреждение высшего профессионального образования

САНКТ-ПЕТЕРБУРГСКИЙ ГОСУДАРСТВЕННЫЙ
УНИВЕРСИТЕТ

АЭРОКОСМИЧЕСКОГО ПРИБОРОСТРОЕНИЯ

ЭЛЕКТРОТЕХНИКА

Методические указания
к выполнению курсовой работы

Исследование процессов в электрической цепи

Санкт-Петербург

2015

Составители: Атанов В.А., Бритов Г.С. (кафедра информационных систем), Голубков В.А.

Рецензент: доцент кафедры 32 Волохов М.А.

Содержатся методические указания к выполнению курсовой работы по дисциплинам ТОЭ, ОТЦ, электротехника и общая электротехника для студентов специалитета, общего и прикладного бакалавриата по всем техническим специальностям.

Методические указания содержат достаточное число вариантов заданий. Все разделы курсовой работы сопровождаются решением соответствующих задач. Указания могут быть использованы для практических занятий, лабораторных работ, а также при самостоятельной работе студентов.

Подготовлены кафедрой управления и информатики в технических системах и рекомендованы к изданию редакционно-издательским советом Санкт-Петербургского государственного университета аэрокосмического приборостроения.

Введение

Курсовая работа представляет заключительный этап в обучении студентов специалитета, общего и прикладного бакалавриата технических специальностей по предметам электротехнической направленности (ТОЭ, ОТЦ, электротехника, общая электротехника и др.).

Курсовая работа охватывает основные разделы анализа линейных и нелинейных электрических цепей.

В процессе выполнения курсовой работы студенты углубляют и закрепляют навыки самостоятельной работы по анализу линейных и нелинейных электрических цепей в стационарных и нестационарных режимах, в том числе навыки компьютерного моделирования процессов в электрических цепях.

Техническое задание на курсовую работу.

Изучить заданный вариант электрической цепи (ЭЦ): состав, действие ключей S_1 и S_2 , режимы работы ЭЦ.

1. Исследовать линейную ЭЦ до коммутации ключа S_1 (режим 1).

1.1 Рассчитать ЭЦ с постоянным источником электрической энергии (ИЭЭ):

- обосновать выбор метода расчета;
- определить токи и напряжения ветвей;

- выполнить проверку по балансу мощностей.

1.2 Рассчитать ЭЦ с гармоническим ИЭЭ:

- обосновать выбор метода расчета;

- определить токи и напряжения ветвей;

- выполнить проверку по векторным диаграммам токов и напряжений.

1.3 Рассчитать результирующие токи и напряжения ветвей при одновременном действии постоянного ИЭЭ и гармонического ИЭЭ.

2 Исследовать линейную ЭЦ после коммутации ключа S_1 (режим 2).

Выбрать или принять как заданный классический или операционный метод расчета переходного процесса.

2.1. В классическом методе расчёта определить на ёмкости C и индуктивности L :

- начальные условия $U_C^+, I_C^+, U_L^+, I_L^+$.

- начальные условия свободных составляющих $U_{C\text{св}}^+, I_{C\text{св}}^+, U_{L\text{св}}^+, I_{L\text{св}}^+$.

-установившиеся значения $U_{C\text{уст}}, I_{C\text{уст}}, U_{L\text{уст}}, I_{L\text{уст}}$.

Определить корни α_1, α_2 характеристического уравнения

Определить нули p_1, p_2 операционного сопротивления $Z_{\text{вх}}(p)$.

Построить зависимости $u_C(t)$ и $i_L(t)$.

2.2. В операционном методе расчета определить:

-начальные условия U_C^+, I_L^+ ;

-построить операционную схему замещения;

-определить изображения $U_C(p), I_L(p)$;

-определить оригиналы $u_C(t), i_L(t)$ с использованием формулы разложения.

2.3. Построить систему уравнений переменных состояния линейной ЭЦ.

3. Исследовать процессы в ЭЦ с нелинейным элементом (режим 3):

-составить систему уравнений переменных состояния $u_C(t), i_L(t)$ нелинейной ЭЦ – УИРС (учебно-исследовательская работа студентов);

-определить в установившемся режиме значения, величин $U_{HЭ}, I_{HЭ}, U_{C7}, \psi_{L7}$ ветви с нелинейным элементом НЭ.

4. Выполнить компьютерное моделирование процессов в линейной ЭЦ:

-построить графики зависимостей $u_C(t), i_L(t)$ в пакете Matcad (корни α_1 и α_2 – комплексно- сопряженные);

-сформировать матрицу системы уравнений состояния;

-построить в пакете программ Matlab графики зависимостей $u_C(t), i_L(t)$ (корни α_1 и α_2 – вещественные).

Расчеты дать в системе СИ, обозначения и графики выполнить по ГОСТу, пояснительную записку представить в виде компьютерной распечатки на формате А4.

Далее приведен пример расчета ЭЦ в режимах обозначенных выше.

В задании принято:

E_1 и J_1 – постоянные величины;

$$e_2(t) = E_{2m} \cdot \cos(\omega t + \varphi_e); \quad E_{2m} = \sqrt{2}E_2;$$

$$j_2(t) = I_{2m} \cdot \cos(\omega t + \varphi_e); \quad I_{2m} = \sqrt{2}I_{2m}.$$

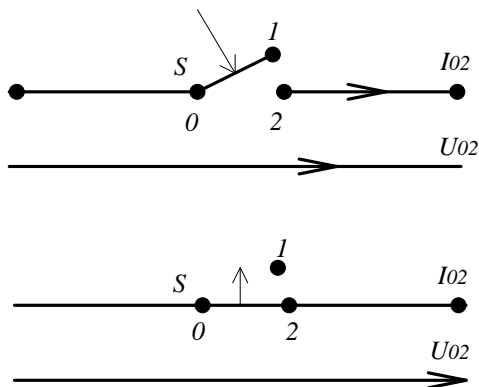
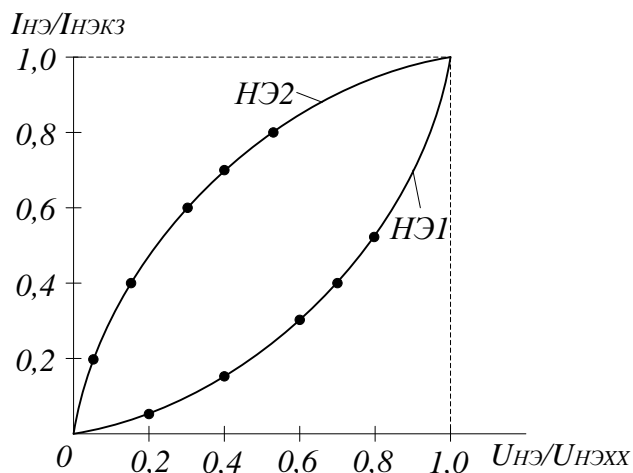
Вольтамперная характеристика (ВАХ)
нелинейного элемента (НЭ)

Вариант 1

I	0	0,2	0,4	0,6	0,7	0,8	1,0
$I / I_{HЭ}^{K3}$	0	0,05	0,12	0,28	0,38	0,52	1,0

Вариант 2

U	0	0,2	0,4	0,6	0,7	0,8	1,0
$U / U_{HЭ}^{XX}$	0	0,06	0,14	0,26	0,34	0,45	1,0



Поясним работу ключей.

Ключ S сначала разомкнут $R_{02} \rightarrow \infty, I_{02} = 0$; затем ключ замыкается.

Ключ S сначала замкнут $R_{02} \rightarrow 0, U_{02} = 0$; затем ключ размыкается.

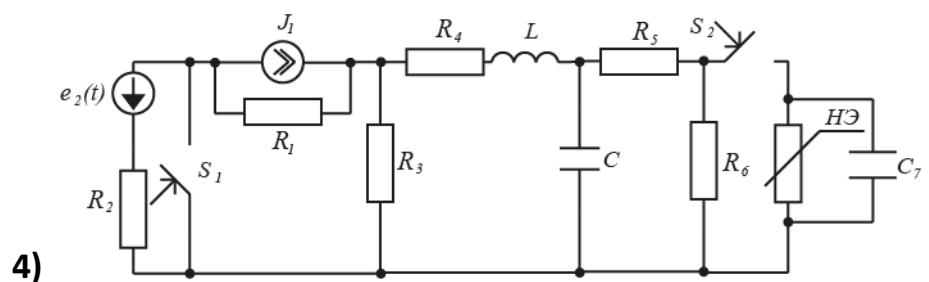
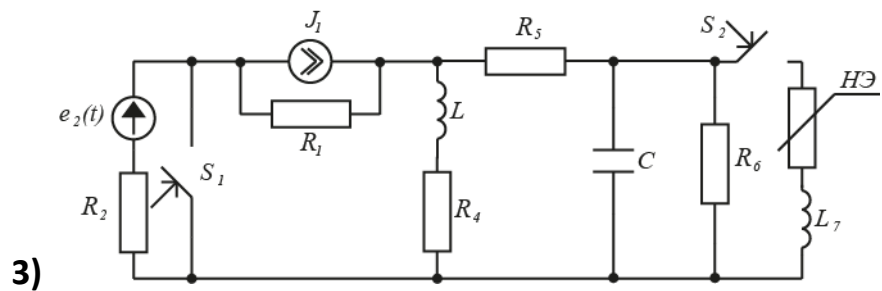
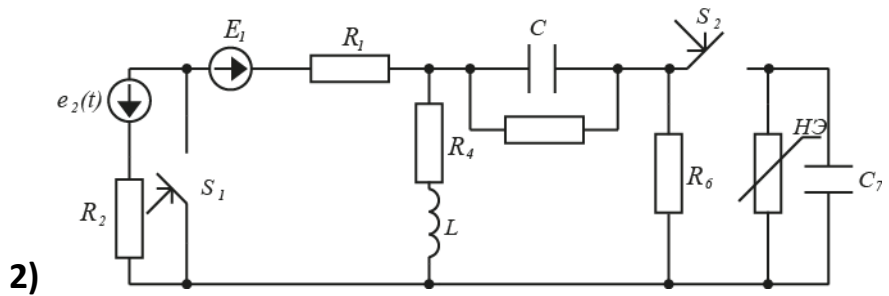
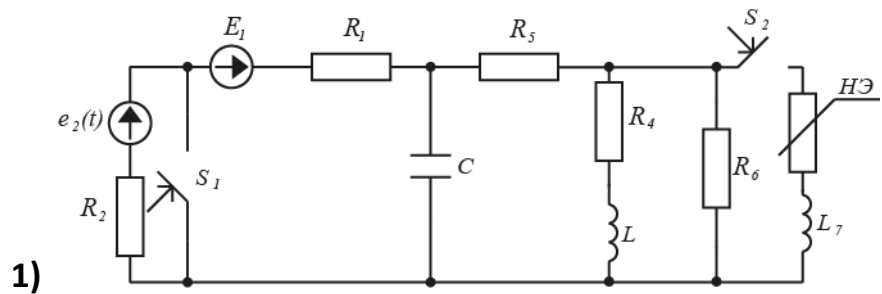
Коммутация ключей S_1 и S_2 изменяет состав и режимы работы электрической цепи.

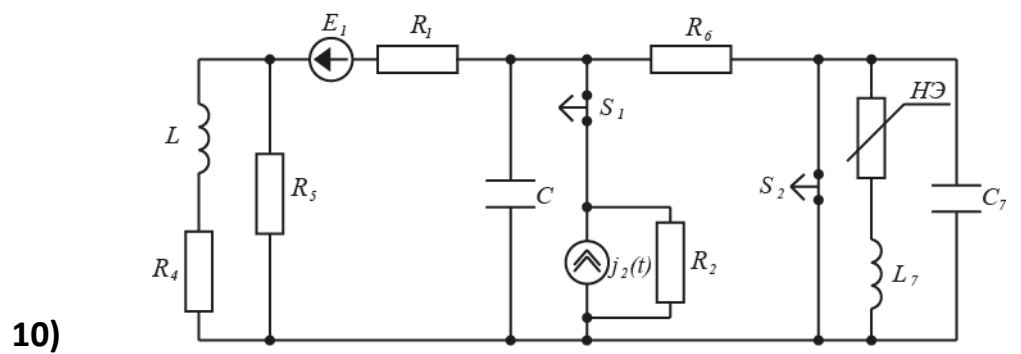
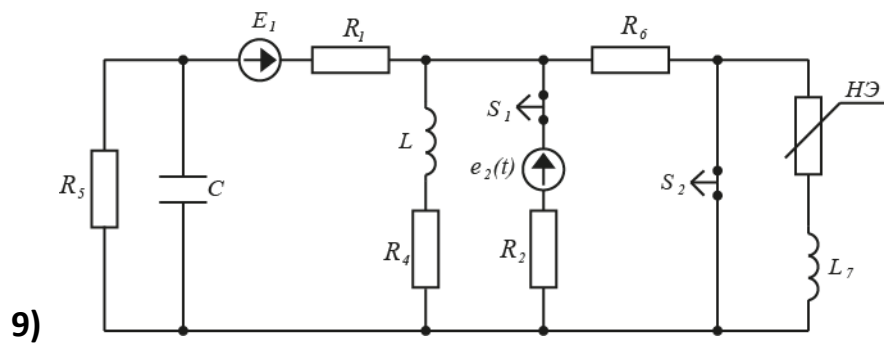
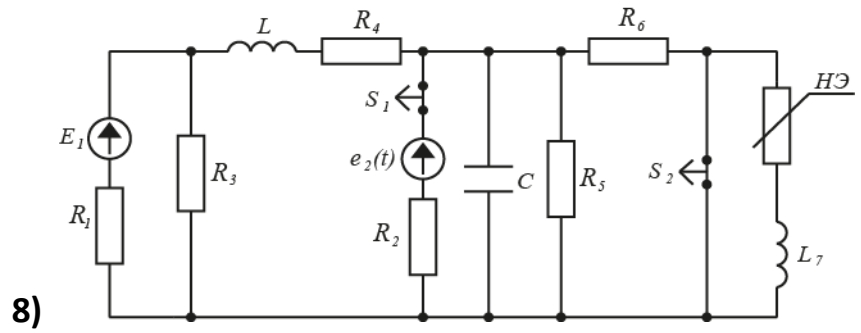
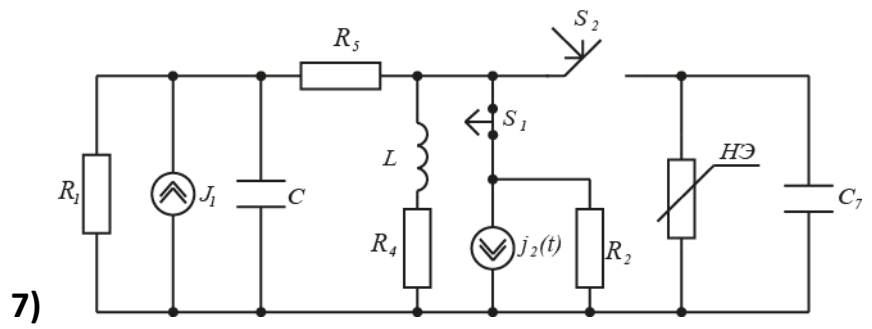
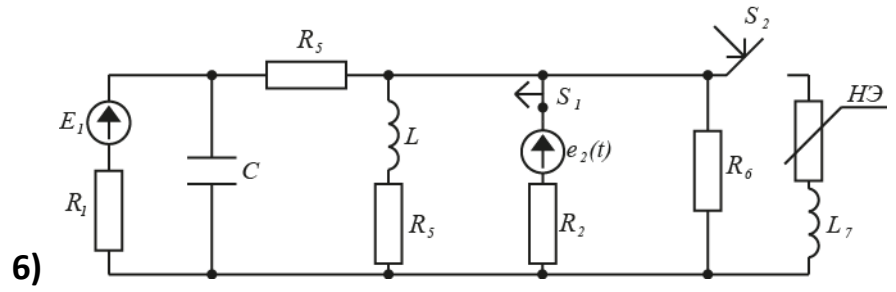
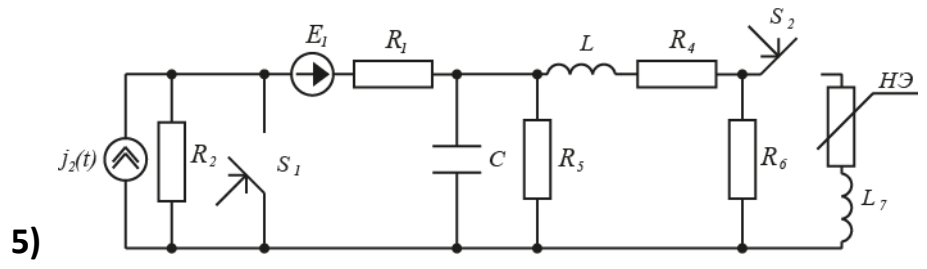
Режим 1. Ключи S_1 и S_2 находятся в исходном по заданию положении. Электрическая цепь содержит одновременно постоянный и гармонический источники электрической энергии (ИЭЭ), в цепи действует стационарный режим с постоянной и гармонической составляющей.

Режим 2. Ключ S_1 коммутирует и отключает ветвь с гармоническим источником, теперь цепь содержит только постоянный источник электрической энергии. Режим цепи становится нестационарным: в линейной ЭЦ возникает и со временем затухает переходный процесс.

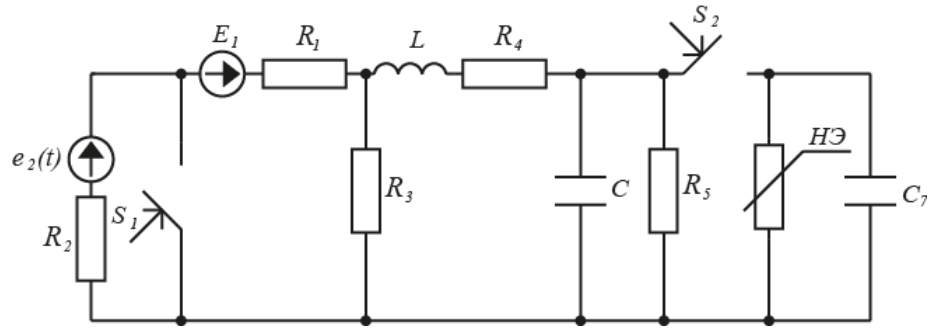
Режим 3. Ключ S_2 коммутирует и подключает к линейной цепи ветвь с нелинейным элементом (НЭ), электрическая цепь становится нелинейной. Цепь переходит в нестационарный режим, в нелинейной цепи возникает и со временем также затухает переходный процесс.

Варианты заданий

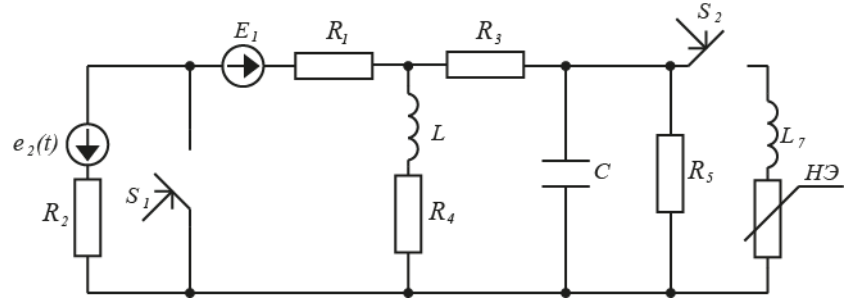




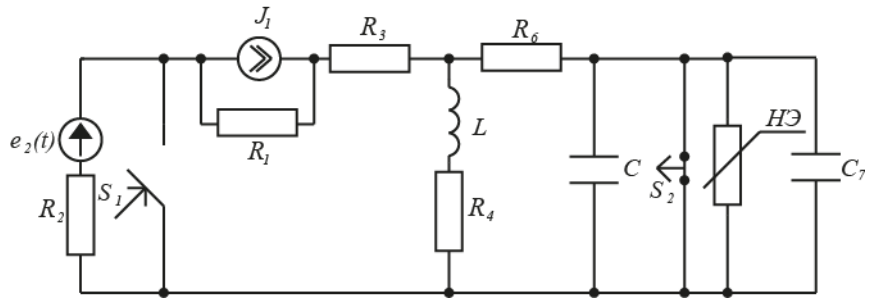
11)



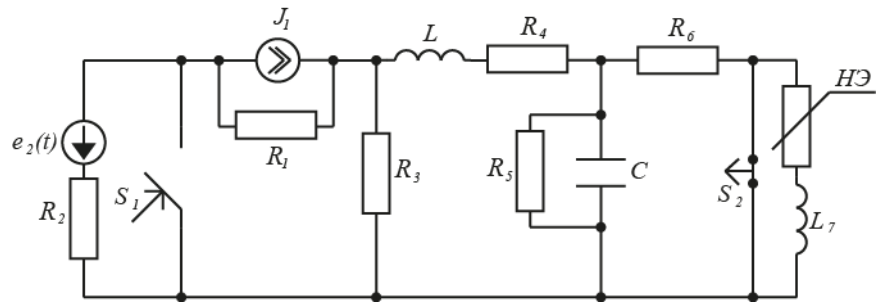
12)



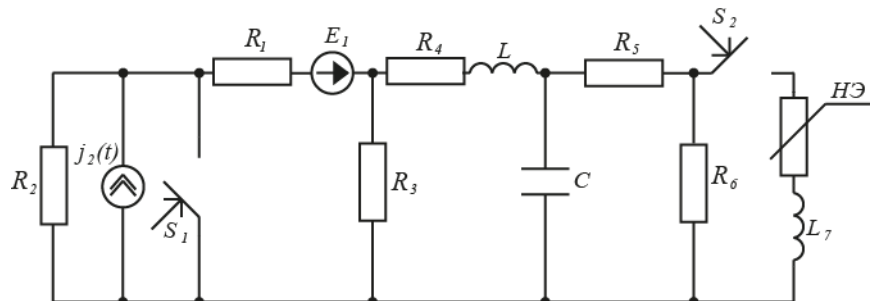
13)



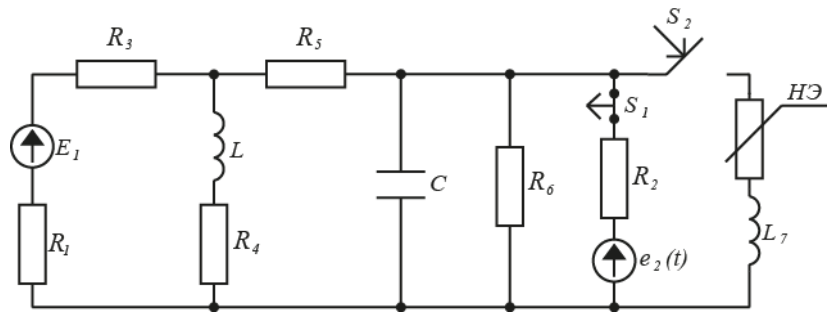
14)



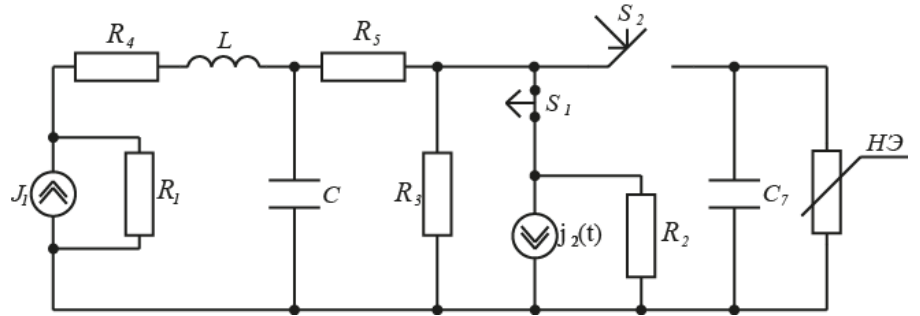
15)



16)



17)



18)

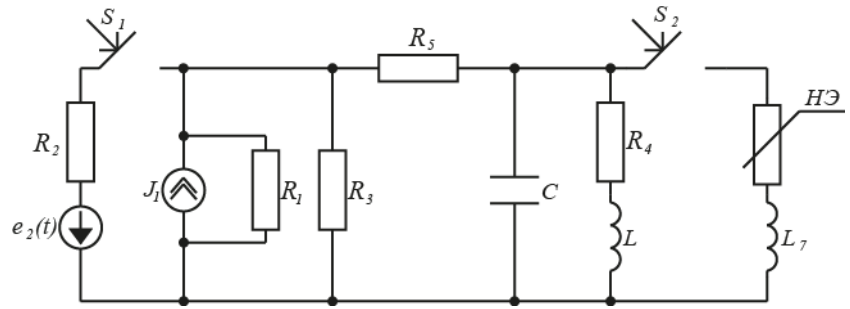


Таблица 1

Вариант задания	Номер схемы	Данные электрических схем														
		E ₁ , В	J ₁ , А	R ₁ , Ом	E ₂ , В	J ₂ , А	R ₂ , Ом	L, мГн	C, мкФ	R ₃ , Ом	R ₄ , Ом	R ₅ , Ом	R ₆ , Ом	C ₇ , мкФ	L ₇ , мГн	φ, град
1	1	100	-	30	80	-	20	50	10	40	60	70	90	-	20	0
2	2	40	-	20	50	-	10	8,0	5,0	50	70	65	80	50	-	+15
3	3	-	8,0	15	80	-	7	80	20	35	40	50	70	-	5	-30
4	4	-	5,0	10	30	-	10	20	5,0	60	50	70	80	60	-	+50
5	5	80	-	15	-	9,0	9	55	30	30	45	60	65	-	20	-60
6	6	100	-	20	60	-	12	30	5,0	40	60	70	80	-	35	-45
7	7	-	8,0	15	-	4,0	20	75	35	55	75	80	90	30	-	+20
8	8	70	-	12	50	-	4	20	6,0	35	35	70	80	-	15	0
9	9	40	-	18	60	-	6	20	10	25	45	60	65	-	40	+90
10	10	90	-	25	-	4,0	15	6,0	4,0	20	60	75	85	60	60	-70
11	11	80	-	20	110	-	20	45	18	30	70	65	80	75	-	-30
12	12	110	-	35	150	-	25	20	5,0	40	35	40	70	-	35	-45
13	13	-	3,0	20	90	-	15	80	10	50	40	65	45	80	-	+45
14	14	-	3,5	20	80	-	10	25	5,0	30	50	70	80	-	80	-45
15	15	70	-	15	-	5,0	10	45	12	40	60	75	65	-	15	0
16	16	30	-	30	50	-	14	40	4,0	30	30	40	80	-	25	+60
17	17	-	2,0	35	-	5,0	20	100	12	35	60	75	95	90	-	-30
18	18	-	2,5	20	70	-	18	8,0	10	55	70	100	60	-	10	0
19	1	55	-	18	40	-	9	70	15	25	40	50	70	-	12	-30
20	2	35	-	15	60	-	20	40	5,0	20	40	70	75	40	-	-45
21	3	-	2,5	20	60	-	5	110	25	30	45	55	60	-	100	30
22	4	-	4,0	22	60	-	15	20	10	45	55	70	80	90	-	+45
23	5	100	-	30	-	7,0	20	90	20	55	60	70	90	-	60	0
24	6	120	-	10	80	-	15	30	8,0	30	45	60	80	-	100	-45
25	7	-	6,0	15	-	4,0	13	50	10	25	40	55	60	120	-	-30
26	8	80	-	20	50	-	10	30	6,0	50	60	55	75	-	60	-25
27	9	40	-	18	25	-	12	60	20	60	70	80	85	-	10	+25
28	10	60	-	15	-	8,0	10	25	5,0	30	55	90	120	25	80	+60
29	11	75	-	20	55	-	15	60	20	20	75	90	100	40	-	-30

30	12	95	-	25	50	-	20	10	6,0	35	45	55	70	-	120	+45
----	----	----	---	----	----	---	----	----	-----	----	----	----	----	---	-----	-----

В качестве примера исследуем ЭЦ, схема которой приведена на рис.1.

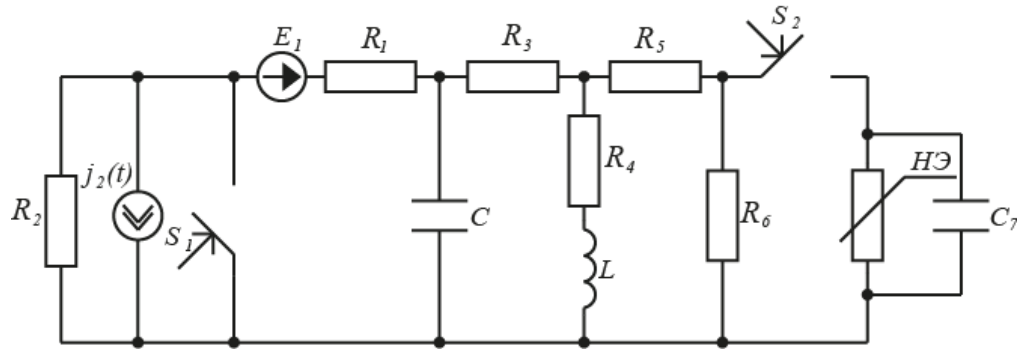


Рис.1

Принято: $R_1 = 20 \text{ Ом}$; $J_2 = 10 \text{ А}$; $\omega = 1000 \text{ с}^{-1}$, $\varphi_{j_2} = 30^\circ$, $R_2 = 20 \text{ Ом}$;

$L = 50 \text{ мГн}$, $C = 10 \text{ мкФ}$, $R_3 = 30 \text{ Ом}$; $R_4 = 60 \text{ Ом}$; $R_5 = 90 \text{ Ом}$; $R_6 = 70 \text{ Ом}$; $C_7 = 120 \text{ мкФ}$,

$j_2(t) = \sqrt{2}J_2 \cos(\omega t + \varphi_{j_2}) = 14,1 \cos(1000t + 30) \text{ А}$; *НЭ ВАХ* вариант 1.

На каждом этапе ЭЦ может быть решена разными методами. Из них следует выбрать рациональный метод, т.е. в вычислительном отношении наименее трудоемкий. Ниже приводятся примеры решения конкретных задач разными методами.

Перечень и объем решаемых вопросов определяет преподаватель.

1. Исследование линейной ЭЦ с постоянным и гармоническим ИЭЭ (стационарный режим).

1.1. Обоснование выбора метода расчета

В ЭЦ действуют два источника электрической энергии (ИЭЭ): источник постоянного напряжения E_1 и источник переменного тока $j_2(t)$. Поскольку ЭЦ линейная, то возможно применение принципа суперпозиции (наложения). Сначала выполняется расчет на постоянном токе, при этом источник пере-

менного тока исключается по правилу: ветвь с $j_2(t)$ размыкается, ветвь с R_2 остается. Затем выполняется расчет на переменном токе, при этом источник постоянного напряжения принимается $E_1 = 0$ т.е. закорачивается, сопротивление R_1 остается. После этого результирующие токи и напряжения получаются алгебраическим суммированием их составляющих по постоянному и переменному току [1,3,5].

1.2. Расчет ЭЦ с постоянным ИЭЭ.

Постоянный ток можно рассматривать как предельный случай переменного тока частотой $\omega \rightarrow 0$. Отсюда на постоянном токе:

сопротивление и напряжение на индуктивности

$$X_L = \omega L = 0, U_L = I\omega L = 0;$$

сопротивление и ток ёмкости

$$X_C = \frac{1}{\omega C} \rightarrow \infty(\text{разрыв}), I_C = U\omega C = 0$$

Ниже приводятся примеры расчета ЭЦ (рис. 1) методом эквивалентных преобразований и методом узловых напряжений.

1.2.1 Расчет ЭЦ методом эквивалентных преобразований

Последовательность преобразований показана на рис. 2.

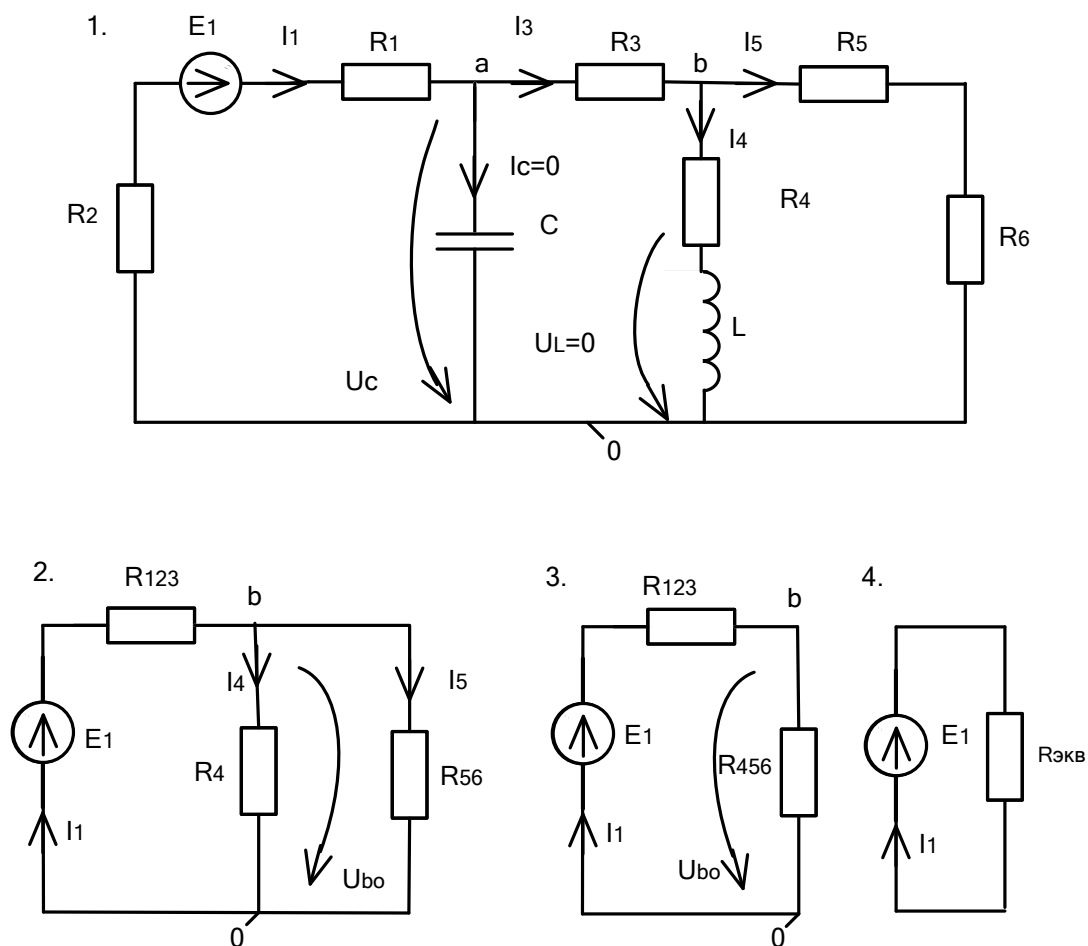


Рис.2

Здесь приняты обозначения:

$$R_{56} = R_5 + R_6 = 90 + 70 = 160 \text{ Ом};$$

$$R_{456} = \frac{R_4 R_{56}}{R_4 + R_{56}} = \frac{60 \cdot 160}{60 + 160} = 43,6 \text{ Ом};$$

$$R_{123} = R_1 + R_2 + R_3 = 20 + 20 + 30 = 70 \text{ Ом};$$

$$R_{\text{экв.}} = R_{123} + R_{456} = 70 + 43,6 = 114 \text{ Ом}.$$

По закону Ома:

$$I_3 = I_1 = \frac{E_1}{R_{\text{экв}}} = \frac{100}{114} = 0,88 \text{ А};$$

$$U_{ab} = I_1 \cdot R_{456} = 0,88 \cdot 43,6 = 38,4 \text{ В};$$

$$I_5 = \frac{U_{ab}}{R_{56}} = \frac{38,4}{160} = 0,24 \text{ А};$$

$$I_4 = \frac{U_{ab}}{R_4} = \frac{38,4}{60} = 0,64 \text{ A.}$$

Напряжение на ёмкости C :

$$U_c = I_1(R_3 + R_{456}) = 0,88(30 + 43,6) = 64,8 \text{ В.}$$

Проверка правильности расчета по балансу мощностей ИЭЭ и потребителей, основанному на законе сохранения энергии:

$$P_{E1} = E_1 \cdot I_1 = 100 \cdot 0,88 = 88 \text{ Вт};$$

$$P_{\text{потреб.}} = \sum_{i=1}^6 i_i^2 \cdot R_i = 0,88^2(20 + 20 + 30) + 0,64^2 \cdot 60 + 0,24^2(70 + 90) = 88 \text{ Вт.}$$

Проверка выполняется.

1.2.2 Расчет ЭЦ методом узловых напряжений

Граф ЭЦ показан на рис. 3.

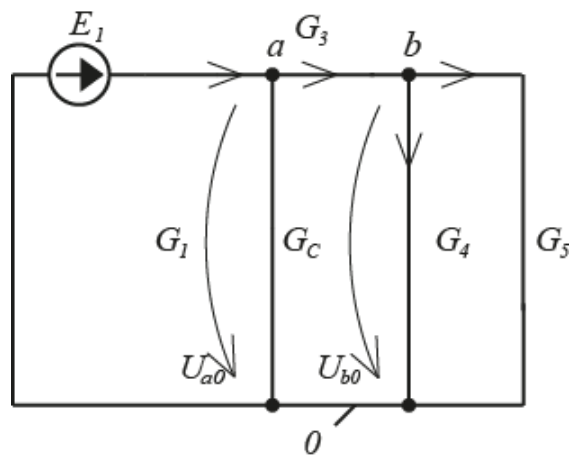


Рис.3

Проводимости ветвей:

$$G_1 = \frac{1}{R_1 + R_2} = \frac{1}{20 + 20} = 2,5 \cdot 10^{-2} \text{ См (сименс)};$$

$$G_{ab} = \frac{1}{R_3} = \frac{1}{30} = 3,33 \cdot 10^{-2} \text{ См};$$

$$G_4 = \frac{1}{R_4} = \frac{I}{60} = 1,67 \cdot 10^{-2} \text{ См};$$

$$G_5 = \frac{1}{R_5 + R_6} = \frac{I}{90 + 70} = 0,625 \cdot 10^{-2} \text{ См}.$$

Проводимость ветви с ёмкостью C на постоянном токе равна нулю, $G_c=0$.

Сумма проводимостей ветвей, сходящихся в узел а,

$$G_a = G_1 + G_c + G_{ab} = (2,50 + 0 + 3,33) \cdot 10^{-2} = 5,83 \cdot 10^{-2} \text{ См}.$$

Сумма проводимостей ветвей, сходящихся в узел б,

$$G_b = G_{ab} + G_4 + G_5 = (3,33 + 1,67 + 0,625) \cdot 10^{-2} = 5,63 \cdot 10^{-2} \text{ См}.$$

Уравнения узловых напряжений для узлов a и b

$$\begin{cases} U_{a0} \cdot G_a - U_{b0} \cdot G_{ab} = E_1 \cdot G_1 \\ U_{b0} \cdot G_b - U_{a0} \cdot G_{ab} = 0 \end{cases}$$

Решаем систему уравнений методом подстановок:

$$U_{b0} = U_a \cdot \frac{G_{ab}}{G_b};$$

$$U_{a0} (G_a \cdot G_b - G_{ab} \cdot G_{ab}) = E_1 G_1 \cdot G_b;$$

$$U_{a0} = U_c = \frac{E_1 \cdot G_1 \cdot G_b}{G_a \cdot G_b - G_{ab} \cdot G_{ab}} = \frac{100 \cdot 2,5 \cdot 10^{-2} \cdot 5,63 \cdot 10^{-2}}{5,83 \cdot 10^{-2} \cdot 5,63 \cdot 10^{-2} - 3,33 \cdot 3,33 \cdot 10^{-4}} = 64,8 \text{ В};$$

$$U_{b0} = \frac{64,8 \cdot 3,33 \cdot 10^{-2}}{5,63 \cdot 10^{-2}} = 38,4 \text{ В}.$$

Токи ветвей:

$$I_1 = I_3 = (E_1 - U_{a0}) \cdot G_1 = (100 - 64,8) \cdot 2,5 \cdot 10^{-2} = 0,88 \text{ А};$$

$$I_L = \frac{U_{b0}}{R_4} = U_{b0} \cdot G_4 = 38,4 \cdot 1,67 \cdot 10^{-2} = 0,64 \text{ А};$$

$$I_5 = U_{b0} \cdot G_5 = 38,4 \cdot 0,625 \cdot 10^{-2} = 0,24 \text{ А};$$

$I_c = 0$, а также $U_L = 0$.

Результаты расчета по обоим методам идентичны.

Возможен также расчет данной ЭЦ по законам Кирхгофа, но он заведомо менее эффективен, т.к. составляется более сложная в решении система из пяти уравнений (по числу ветвей, включая ветвь с ёмкостью), поэтому здесь не рассматривается.

1.3 Расчет ЭЦ с гармоническим ИЭЭ

Расчетная ЭЦ на переменном токе дана на рис.4, где ЭДС источника постоянного напряжения E_I исключена по правилу (закорочена).

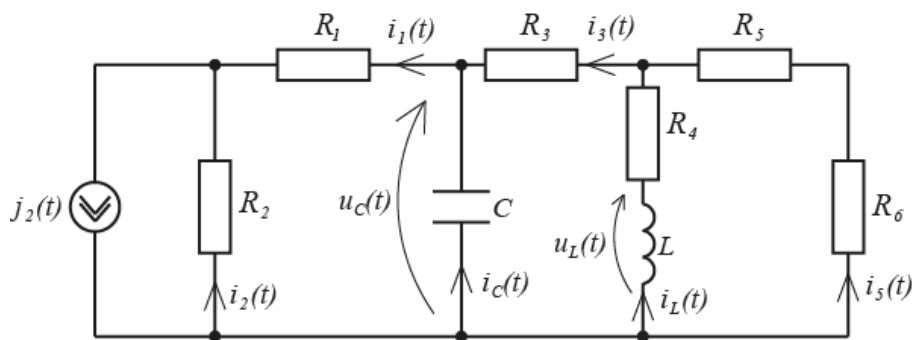


Рис.4

Источник переменного тока $j_2(t)$ с сопротивлением утечки R_2 может быть заменен на источник переменного напряжения с ЭДС $e_2(t) = j_2(t) \cdot R_2$ и внутренним сопротивлением R_2 . Это уменьшает число ветвей и узлов ЭЦ и упрощает её расчет.

1.3.1 Расчет ЭЦ в комплексной форме методом узловых напряжений

По заданию ток источника $j_2(t)$ изменяется по гармоническому закону

$$j_2(t) = J_m \cdot \cos(\omega t + \varphi_{j_2}),$$

поэтому расчет ЭЦ выполняем в комплексных величинах.

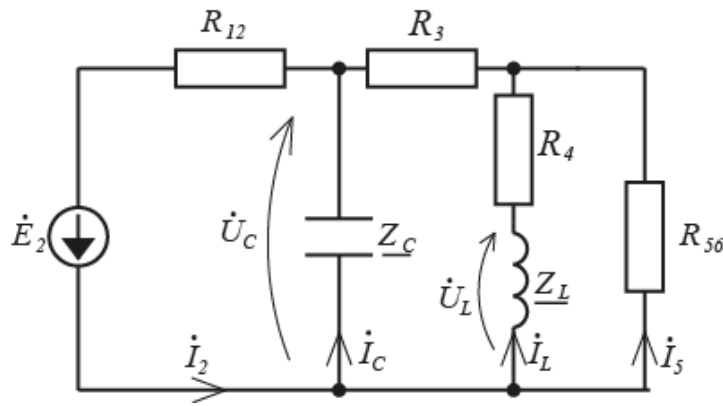


Рис.5

Схема замещения рассматриваемой ЭЦ в комплексной форме дана на рис.5.

Источник тока в показательной форме комплексной величины

$$j = J \cdot e^{j\varphi} = 10 \cdot e^{j30^\circ} \text{ A,}$$

он же в алгебраической форме комплексной величины

$$j_2 = J_2 \cos \varphi_{j_2} + j \cdot J_2 \sin \varphi_{j_2} = 10 \cdot 0,87 + j10 \cdot 0,5 = 8,7 + j5,0 \text{ A,}$$

Источник напряжения, преобразованный из источника тока,

$$\dot{E}_2 = j_2 \cdot R_2 = 10 \cdot 20 \cdot e^{j30^\circ} = 200 \cdot e^{j30^\circ} \text{ B,}$$

$$\dot{E}_2 = 200 \cdot \cos 30^\circ + j200 \cdot \sin 30^\circ = 173 + j100 \text{ B.}$$

Емкостное сопротивление

$$\underline{Z}_c = \frac{I}{\omega C} \cdot e^{j\varphi_C} = \frac{I}{1000 \cdot 10^{-5}} \cdot e^{-j90^\circ} = 100 \cdot e^{-j90^\circ} \text{ Ом,}$$

$$\underline{Z}_c = 100 \cdot \cos(-90^\circ) + j100 \cdot \sin(-90^\circ) = -j100 \text{ Ом.}$$

Индуктивное сопротивление

$$\underline{Z}_L = \omega L e^{j\varphi_L} = 1000 \cdot 0,05 \cdot e^{j90^\circ} = 50 \cdot e^{j90^\circ} \text{ Ом,}$$

$$\underline{Z}_L = 50 \cdot \cos 90^\circ + j50 \cdot \sin 90^\circ = j50 \text{ Ом.}$$

Сопротивления ветвей:

$$R_{12} = R_1 + R_2 = 20 + 20 = 40 \text{ Ом},$$

$$R_{56} = R_5 + R_6 = 90 + 70 = 160 \text{ Ом}.$$

ЭЦ на рис.5 содержит пять ветвей и три узла. Расчет линейной ЭЦ переменного тока выполняем методом узловых напряжений, как более рациональным.

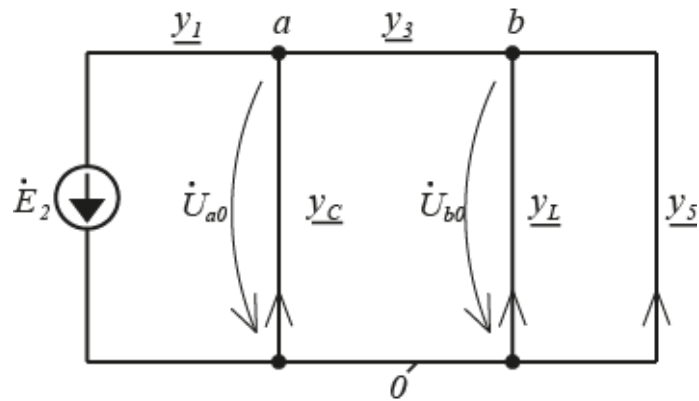


Рис.6

.Граф ЭЦ показан на рис.6, где принято следующее.

Проводимость ветви 12

$$\underline{Y}_{12} = \frac{1}{R_1 + R_2} = \frac{1}{20 + 20} = 0.025 \text{ См}.$$

Проводимость ветви a0

$$\underline{Y}_c = \frac{1}{\underline{Z}_c} = j\omega C = \omega C e^{-j\varphi_c} = j0.01 = 0.01 e^{j90^\circ} \text{ См}.$$

Проводимость ветви ab

$$\underline{Y}_{ab} = \frac{1}{R_3} = \frac{1}{30} = 0.033 \text{ См}.$$

Проводимость ветви b0:

$$\underline{Y}_4 = \frac{1}{R_4 + j\omega L} \cdot \frac{R_4 - j\omega L}{R_4 - j\omega L} = \frac{R_4 - j\omega L}{R_4^2 + (\omega L)^2};$$

в алгебраической форме

$$\underline{Y}_4 = \frac{60 - j50}{60^2 + 50^2} = (0.98 - j0.82) \cdot 10^{-2} \text{ См};$$

в показательной форме

$$\underline{Y}_4 = Y_4 \cdot e^{j\varphi_{Y_4}} = 1.28 \cdot 10^{-2} \cdot e^{-j40^\circ} \text{ См},$$

где

$$Y_4 = \sqrt{0.98^2 + 0.82^2} \cdot 10^{-2} = 1.28 \cdot 10^{-2} \text{ См}.$$

$$\varphi_{Y_4} = \arctg \frac{-0.82}{0.98} = -40^\circ.$$

Проводимость ветви 5

$$\underline{Y}_5 = \frac{1}{R_5 + R_6} = \frac{1}{90 + 70} = 0.625 \cdot 10^{-2} \text{ См}.$$

Сумма проводимостей ветвей, сходящихся в узел a ,

$$\underline{Y}_a = \underline{Y}_{12} + \underline{Y}_c + \underline{Y}_{ab} = 0,025 + j0,01 + 0,033 = 0,058 + j0,01 = 0,06 \cdot e^{j10^\circ} \text{ См}.$$

Сумма проводимости ветвей, сходящихся в узел b ,

$$\begin{aligned} \underline{Y}_b &= \underline{Y}_{ab} + \underline{Y}_4 + \underline{Y}_5 = 3.3 \cdot 10^{-2} + (0.98 - j0.82) \cdot 10^{-2} + 0.625 \cdot 10^{-2} \\ &= 4.9 \cdot 10^{-2} - j0.82 \cdot 10^{-2} = 5.0 \cdot 10^{-2} \cdot e^{-j9,5^\circ} \text{ См}. \end{aligned}$$

Уравнения напряжений между узлами $a,0$ и $b,0$

$$\begin{cases} \dot{U}_{a0} \cdot \underline{Y}_a - \dot{U}_{b0} \cdot \underline{Y}_{ab} = -\dot{E}_2 \cdot \underline{Y}_{12} & (1) \\ \dot{U}_{b0} \cdot \underline{Y}_b - \dot{U}_{a0} \cdot \underline{Y}_{ab} = 0 & (2) \end{cases}$$

Из (2) находим:

$$\dot{U}_{b0} = \frac{\dot{U}_{a0} \cdot \underline{Y}_{ab}}{\underline{Y}_b} \quad (3)$$

Подставляем (3) в (1) и относительно \dot{U}_{a0} получаем

$$\dot{U}_{a0} = \frac{-\dot{E}_2 \underline{Y}_{12} \cdot \underline{Y}_b}{\underline{Y}_a \cdot \underline{Y}_b - \underline{Y}_{ab} \cdot \underline{Y}_{ab}},$$

где числитель

$$-\dot{E}_2 \underline{Y}_{12} \cdot \underline{Y}_b = -200 \cdot e^{j30^\circ} \cdot 0.025 \cdot 5,0 \cdot 10^{-2} \cdot e^{-9,5^\circ} = -0.25 \cdot e^{j20,5^\circ},$$

знаменатель

$$\underline{Y}_a \cdot \underline{Y}_b - \underline{Y}_{ab} \cdot \underline{Y}_{ab} = 0.06 \cdot e^{j10^\circ} \cdot 0.05 \cdot e^{-j9,5^\circ} - 0.033 \cdot 0.033 = (18.4 + j0.15) \cdot 10^{-4} = 18.6 \cdot 10^{-4} \cdot e^{j0,5^\circ}$$

Узловое напряжение \dot{U}_{a0}

$$\dot{U}_{a0} = -\dot{U}_C = \frac{-0.25 \cdot e^{j20,5^\circ}}{18.6 \cdot 10^{-4} \cdot e^{j0,5^\circ}} = -135 \cdot e^{j20^\circ} = -127 - j46.2 \text{ В}$$

Напряжение ветви \dot{U}_{ab}

$$\dot{U}_{ab} = -\dot{I}_3 \cdot R_3 = -1,62 \cdot e^{i2,5^\circ} \cdot 30 = -48,6 \cdot e^{i2,5^\circ} \text{ В}$$

Узловое напряжение \dot{U}_{b0}

$$\dot{U}_{b0} = \frac{\dot{U}_{a0} \cdot \underline{Y}_{ab}}{\underline{Y}_b} = \frac{-135 \cdot e^{j20^\circ} \cdot 3.3 \cdot 10^{-2}}{5,0 \cdot 10^{-2} \cdot e^{-j9,5^\circ}} = -89.5 \cdot e^{j29,5^\circ} = -77.9 - j44.1 \text{ В}$$

Находим токи ветвей. Ток ветви $a0$

$$\dot{I}_C = -\dot{U}_{a0} \cdot \underline{Y}_C = 135 \cdot e^{j20^\circ} \cdot 0.01 \cdot e^{j90^\circ} = 1.35 \cdot e^{j110^\circ} = -0.46 + j1.27 \text{ А}$$

Ток ветви $b0$

$$\dot{I}_L = -\dot{U}_{b0} \cdot \underline{Y}_4 = 89.5 \cdot e^{j29,5^\circ} \cdot 1.28 \cdot 10^{-2} \cdot e^{-j40^\circ} = 1.15 \cdot e^{-j10,5^\circ} = 1.13 - j0.20 \text{ А}$$

Ток ветви с проводимостью \underline{Y}_5

$$\dot{I}_5 = -\dot{U}_{b0} \cdot \underline{Y}_5 = 89.5 \cdot e^{j29,5^\circ} \cdot 0.625 \cdot 10^{-2} = 0.56 \cdot e^{j29,5^\circ} = 0.49 + j0.28 \text{ А}$$

Ток ветви с проводимостью \underline{Y}_{ab}

$$\dot{I}_3 = (-\dot{U}_{a0} + \dot{U}_{b0}) \cdot \underline{Y}_{ab} = (127 + j46.2 - 77.9 - j44.1) \cdot 0.033 = 1.60 + j0.069 = 1.61 \cdot e^{j2,5^\circ} \text{ А}$$

Ток ветви с проводимостью \underline{Y}_{12}

$$\dot{I}_2 R_{12} - \dot{U}_{a0} = \dot{E}_2$$

$$\dot{I}_1 = \dot{I}_2 = (\dot{E}_2 + \dot{U}_{a0}) \cdot \underline{Y}_{12} = (173 + j100 - 127 - j46.2) \cdot 0.025 = 1.16 + j1.35 = 1.77 \cdot e^{j49.5^\circ} \text{ A.}$$

Напряжение на индуктивности L

$$\dot{U}_2 = \dot{I}_L \cdot \underline{Z}_L = 1.15 \cdot e^{-j10.5^\circ} \cdot 50 \cdot e^{j90^\circ} = 57.5 \cdot e^{j79.5^\circ} = 10.3 + j56.5 \text{ B.}$$

1.3.2. Построение векторных диаграмм токов и напряжений на комплексной плоскости

Векторная диаграмма токов дана на рис.7, откуда следует:

$$\dot{I}_1 = \dot{I}_2 + \dot{I}_3,$$

$$\dot{I}_3 = \dot{I}_L + \dot{I}_5$$

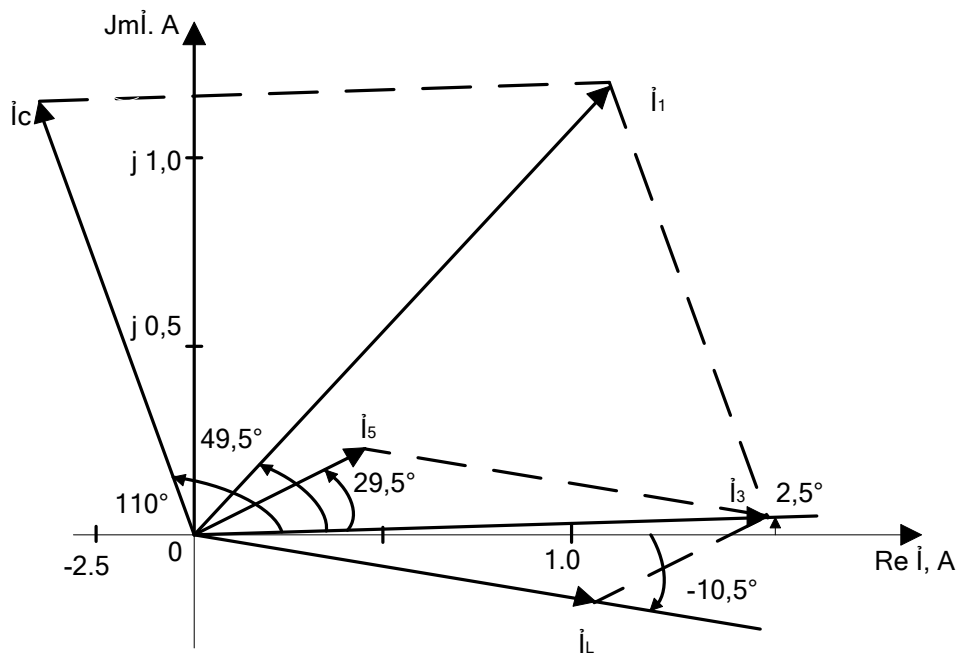


Рис.7

Векторная диаграмма напряжений дана на рис.8, откуда следует:

$$\dot{E}_2 = \dot{U}_{12} - \dot{U}_{a0},$$

$$\dot{U}_{a0} = \dot{U}_{b0} - \dot{U}_{ab}$$

Проверка по законам Кирхгофа выполняется.

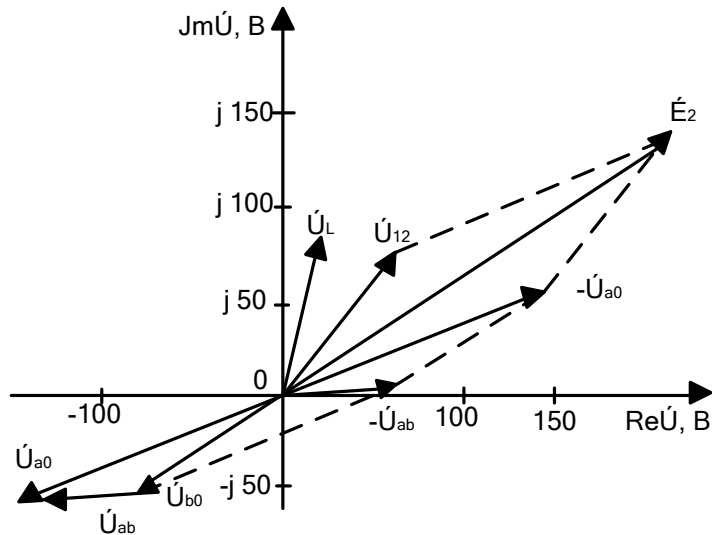


Рис.8

Полученные выражения токов и напряжений ветвей в комплексной форме (изображения) переводим в функции времени (оригиналы). Например, источник гармонического тока:

$$\dot{I}_{am} = I_{2m} \cdot e^{j\varphi_{j_2}},$$

$$j_2(t) = I_{2m} \cdot \cos(\omega t + \varphi_{j_2}).$$

Непосредственно перед коммутацией при $t=0^-$

$$j_2(0^-) = j_2^- = I_{2m} \cdot \cos \varphi_{j_2} = 10\sqrt{2} \cdot \cos 30^\circ = 12,2 \text{ A}$$

Аналогично, находим токи и напряжения ветвей:

$$U_C(0^-) = U_{cm} \cdot \cos \varphi_{uc} = \sqrt{2} \cdot 135 \cdot \cos 20^\circ = 180 \text{ B};$$

$$i_C(0^-) = I_{cm} \cdot \cos \varphi_{ic} = \sqrt{2} \cdot 1.35 \cdot \cos 110^\circ = -0.65 \text{ A};$$

$$U_L(0^-) = U_{Lm} \cdot \cos \varphi_{uL} = \sqrt{2} \cdot 57.5 \cdot \cos 79.7^\circ = 14.5 \text{ B};$$

$$i_L(0^-) = I_{Lm} \cdot \cos \varphi_{iL} = \sqrt{2} \cdot 1.15 \cdot \cos(-10.3^\circ) = 1.59 \text{ A};$$

$$i_1(0^-) = I_{1m} \cdot \cos \varphi_{i1} = \sqrt{2} \cdot 1.77 \cdot \cos 49,5^\circ = 1.62 \text{ A};$$

$$i_3(0^-) = I_{3m} \cdot \cos \varphi_{i3} = \sqrt{2} \cdot 1.61 \cdot \cos 2,5^\circ = 2.27 \text{ A};$$

$$i_5(0^-) = I_{5m} \cdot \cos \varphi_{i5} = \sqrt{2} \cdot 0.56 \cdot \cos 29.5^\circ = 0.68 \text{ A}.$$

Переходим к расчету результирующих токов и напряжений при $t=0^-$.

1.4 Расчет результирующих токов и напряжений ветвей ЭЦ ($t=0^-$)

Согласно принципу суперпозиции, результирующие токи и напряжения ветвей линейной ЭЦ равны алгебраической, т.е. с учетом знаков, сумме их составляющих от постоянного и гармонического ИЭЭ. За положительное направление принимаем направление токов и напряжений от постоянного ИЭЭ.

Результирующие токи и напряжения ветвей при $t=0^-$:

$$U^-_C = U_C - U_C(0^-) = 64.8 - 180 = -115 \text{ B};$$

$$I^-_C = I_C - i_C(0^-) = 0 + 0.65 = 0.65 \text{ A};$$

$$U^-_L = U_L - U_L(0^-) = 0 - 14.5 = -14.5 \text{ B};$$

$$I^-_L = I_L - i_L(0^-) = 0.640 - 1.59 = -0.95 \text{ A};$$

$$I^-_1 = I_1 - i_1(0^-) = 0.880 - 1.62 = -0.74 \text{ A};$$

$$I^-_3 = I_3 - i_3(0^-) = 0.880 - 2.27 = -1.39 \text{ A};$$

$$I^-_5 = I_5 - i_5(0^-) = 0.240 - 0.68 = -0.44 \text{ A}.$$

Эти величины используем при расчете переходного процесса в линейной ЭЦ.

2. Исследование переходного процесса в линейной ЭЦ классическим методом

2.1 Составление уравнений переходного процесса

В ЭЦ ключ S_1 коммутирует, в рассматриваемом примере S_1 замыкается. Образуются две отдельные цепи: одна с гармоническим $j_2(t)$ ИЭЭ, где нет

реактивных элементов и переходный процесс отсутствует; другая с постоянным ИЭЭ E_1 , где протекает переходный процесс, подлежащий изучению.

Целью исследования переходного процесса в ЭЦ на рис.9 является расчет и построение зависимостей $u_C(t), i_L(t)$. Расчет может быть выполнен классическим методом с решением системы дифференциальных уравнений или операционным методом с применением преобразований Лапласа, а также методом уравнений состояния с использованием компьютерного моделирования и др[2,4,6].

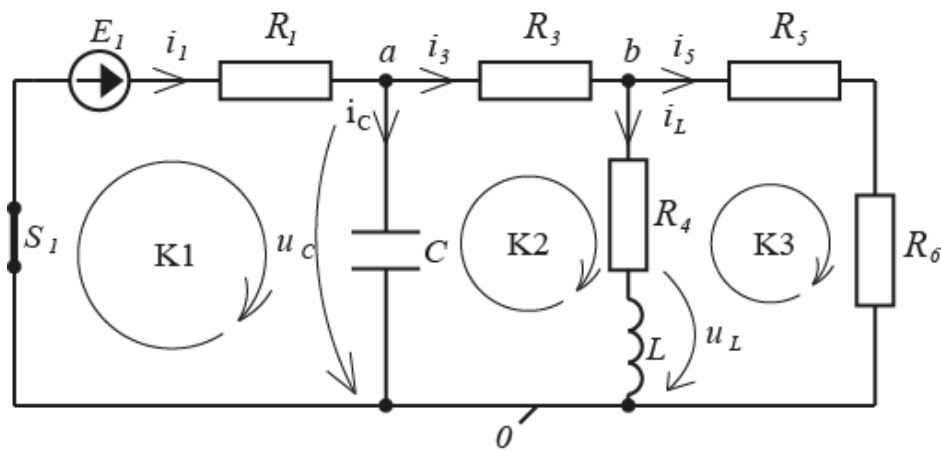


Рис.9

В классическом методе анализа переходных процессов в линейных ЭЦ с двумя реактивными элементами C и L искомые зависимости представляются в виде:

$$U_C(t) = U_{C_{уст}} + U_{C_{св}}(t) = U_{C_{уст}} + A_1 e^{\alpha_1 t} + A_2 e^{\alpha_2 t}; \quad (4)$$

$$i_L(t) = I_{L_{уст}} + i_{L_{св}}(t) = I_{L_{уст}} + B_1 e^{\alpha_1 t} + B_2 e^{\alpha_2 t}, \quad (5)$$

где $U_{C_{уст}}, I_{L_{уст}}$ – установившиеся значения напряжения на емкости и тока в индуктивности;

$u_{C_{св}}(t), i_{L_{св}}(t)$ - свободные составляющие переходного процесса;

A_1, A_2, B_1, B_2 – постоянные интегрирования; α_1, α_2 – корни характеристического уравнения.

Выполняем расчеты в последовательности от простого к сложному:

при $t = 0^+$, т.е. сразу после коммутации ключа S_1 ;

при $t \rightarrow \infty$, т.е. в установившемся режиме после коммутации;

при $0^+ \leq t < \infty$, т.е. переходный процесс.

2.2 Определение начальных значений токов и напряжений ($t = 0^+$)

Цель расчета: определение значений $U_C^+, I_C^+, U_L^+, I_L^+$, они необходимы при нахождении постоянных интегрирования переходного процесса.

По законам коммутации

$$U_C^+ = U_C^- = -115 \text{ В},$$

$$I_L^+ = I_L^- = -0.95 \text{ А}.$$

Расчет ЭЦ по схеме на рис.10 выполняем по законам Кирхгофа: ЗТК – закону токов Кирхгофа; ЗНК – закону напряжений Кирхгофа.

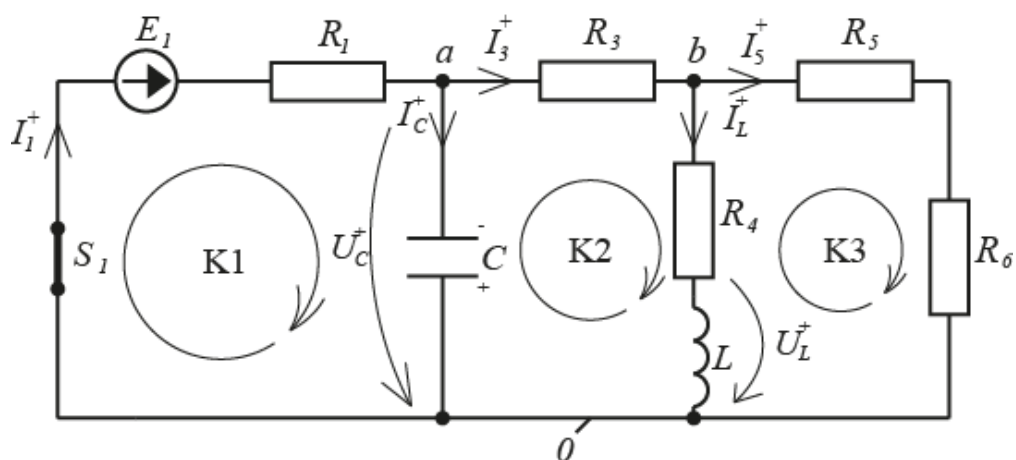


Рис.10

$$\left. \begin{aligned} \text{ЗТК узла } a: & -I_1^+ + I_3^+ + I_C^+ = 0 & (6) \\ \text{ЗТК узла } b: & -I_3^+ + I_L^+ + I_5^+ = 0 & (7) \\ \text{ЗНК контура } K_1: & I_1^+ R_1 + U_C^+ = E_1 & (8) \\ \text{ЗНК контура } K_2: & -U_C^+ + I_3^+ R_3 + I_L^+ R_4 + U_L^+ = 0 & (9) \\ \text{ЗНК контура } K_3: & -U_L^+ - I_L^+ R_4 + I_5^+ R_{56} = 0 & (10) \end{aligned} \right\}$$

Решаем систему уравнений методом подстановок. Выполняем следующие действия:

$$\text{из(10): } I_5^+ = \frac{U_L^+ + I_L^+ R_4}{R_{56}}, \quad (11)$$

$$\text{из (8): } I_1^+ = \frac{E_1 - U_C^+}{R_1} = \frac{100 + 115}{20} = 10.75 A. \quad (12)$$

Подстановка (11) в (7) дает:

$$I_3^+ = I_L^+ \left(1 + \frac{R_4}{R_{56}}\right) + \frac{U_L^+}{R_{56}} \quad (13)$$

Подстановка (12) и (13) в (6) дает

$$\begin{aligned} \frac{-E_1 + U_C^+}{R_1} + I_L^+ \left(1 + \frac{R_4}{R_{56}}\right) + \frac{U_L^+}{R_{56}} + I_C^+ &= \frac{-100 - 115}{20} - 0,95 \left(1 + \frac{60}{160}\right) + \frac{U_L^+}{160} + I_C^+ = \\ &= -12,0 + 6,25 \cdot 10^{-3} \cdot U_L^+ + I_C^+ = 0. \end{aligned} \quad (14)$$

Подстановка (13) в (9) дает:

$$\begin{aligned} -U_C^+ + I_L^+ \left(R_3 + R_4 + \frac{R_3 R_4}{R_{56}}\right) + U_L^+ \left(1 + \frac{R_3}{R_{56}}\right) &= 115 - 0,95 \left(30 + 60 + \frac{30 \cdot 60}{160}\right) + U_L^+ \left(1 + \frac{30}{160}\right) = \\ &= 18,8 + 1,19 U_L^+ = 0 \end{aligned}$$

Отсюда: $U_L^+ = -16 B$

$$\text{Из (14)} \quad I_C^+ = 12,5 - 6,25 \cdot 10^{-3} \cdot U_L^+ = 12,5 - 6,25 \cdot 10^{-3} \cdot 16 = 12,2 A.$$

Итого получаем:

$$U_C^+ = -115 B; \quad I_L^+ = -0,95 A; \quad I_C^+ = 12,2 A; \quad U_L^+ = -16 B. \quad (15)$$

2.3 Определение установившихся значений токов и напряжений ($t \rightarrow \infty$)

Цель работы: определение значений $U_{C\text{уст}}, I_{C\text{уст}}, U_{L\text{уст}}, I_{L\text{уст}}$, которые необходимы при нахождении постоянных интегрирования.

Расчетная схема дана на рис.11. Расчёт выполняем методом эквивалентных преобразований

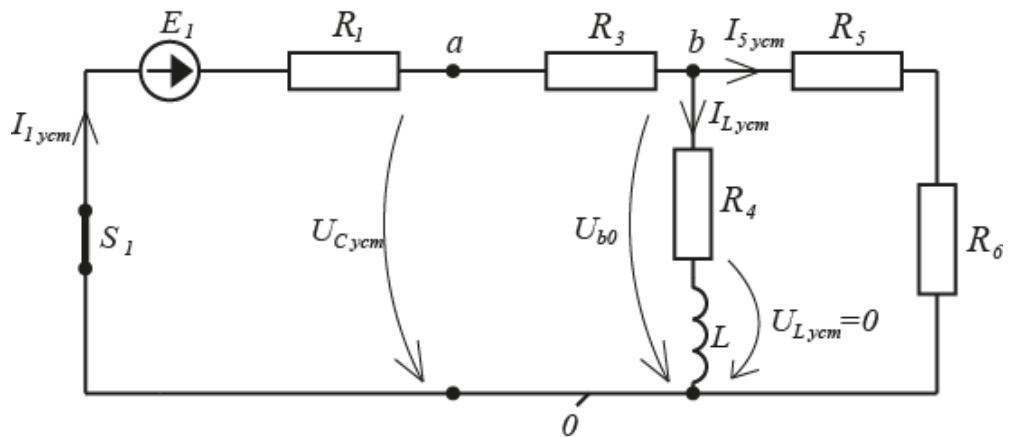


Рис.11

Эквивалентное сопротивление цепи относительно источника E_1

$$R_{\text{экр}} = R_1 + R_3 + R_{456} = 20 + 30 + 43,6 = 93,6 \text{ Ом},$$

$$\text{где, } R_{456} = \frac{R_4(R_5 + R_6)}{R_4 + R_5 + R_6} = \frac{60 \cdot (90 + 70)}{60 + 90 + 70} = 43,6 \text{ Ом}.$$

Ток источника E_1

$$I_{1\text{уст}} = \frac{E_1}{R_{\text{экр}}} = \frac{100}{93,6} = 1,07 \text{ А}.$$

Напряжения и токи ветвей:

$$U_{B0\text{уст}} = I_{1\text{уст}} \cdot R_{456} = 1,07 \cdot 43,6 = 46,7 \text{ В};$$

$$I_{L\text{уст}} = \frac{U_{B0\text{уст}}}{R_4} = \frac{46,7}{60} = 0,78 \text{ А};$$

$$I_{5\text{уст}} = \frac{U_{B0\text{уст}}}{R_5 + R_6} = \frac{46,7}{90 + 70} = 0,29 \text{ А};$$

$$U_{C\text{уст}} = U_{a0\text{уст}} = I_{1\text{уст}} \cdot R_3 + U_{B0\text{уст}} = 1,07 \cdot 30 + 46,7 = 78,8 \text{ В}.$$

Итого, получаем:

$$U_{L_{уст}} = 0, \quad I_{L_{уст}} = 0,78 \text{ A}, \quad U_{C_{уст}} = 78,8 \text{ B}, \quad I_{C_{уст}} = 0, \quad (16)$$

2.4 Формирование системы дифференциальных уравнений

Составляем систему алгебраических уравнений по законам Кирхгофа для узлов a , b и контуров K_1 , K_2 , K_3 схемы на рис.12.

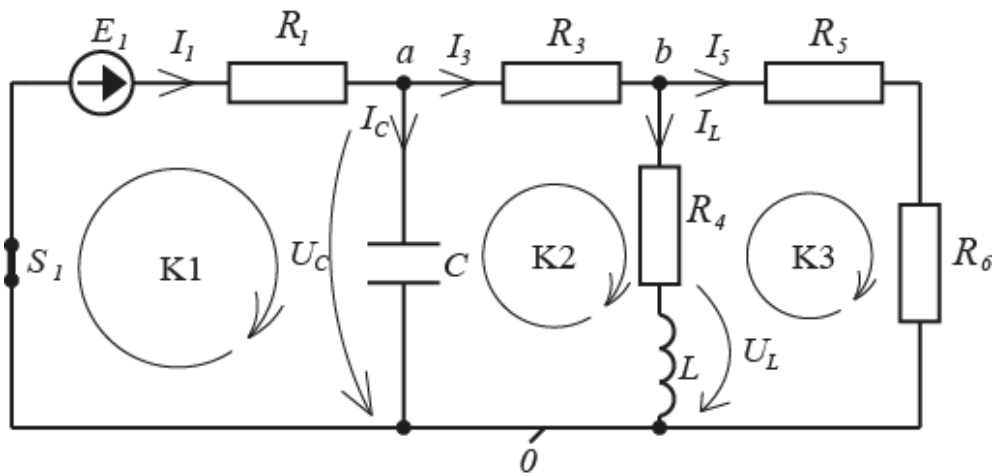


Рис. 12

$$\left. \begin{aligned} -i_1 + i_3 + i_c &= 0 & (17) \\ -i_c + i_L + i_5 &= 0 & (18) \\ i_1 R_1 + u_c &= E_1 & (19) \\ -u_c + i_3 R_3 + i_L R_4 + u_L &= 0 & (20) \\ -u_L - i_L R_4 + i_5 R_{56} &= 0 & (21) \end{aligned} \right\}$$

Преобразуем систему уравнений:

$$\text{из (17)} \quad i_1 = i_c + i_3 \quad (22)$$

$$\text{из (18)} \quad i_5 = i_3 - i_L \quad (23)$$

Подставляем (22) и (23) в (19), (20), (21), получаем

$$\left. \begin{aligned} U_C + i_C R_1 + i_3 R_1 &= E \\ -U_C + i_3 R_3 + i_L R_4 + U_L &= 0 \\ i_3 R_{56} - i_L (R_4 + R_{56}) - U_L &= 0 \end{aligned} \right\} \quad (24)$$

В (24) проводим замену переменных

$$i_C = C \frac{dU_C}{dt} \quad \text{и} \quad U_L = L \frac{di_L}{dt}$$

Получаем искомую систему дифференциальных уравнений второго порядка

$$\left. \begin{aligned} U_C + C \frac{dU_C}{dt} R_1 + i_3 R_1 &= E \\ -U_C + i_3 R_3 + i_L R_4 + L \frac{di_L}{dt} &= 0 \\ i_3 R_{56} - i_L (R_4 + R_{56}) - L \frac{di_L}{dt} &= 0 \end{aligned} \right\} \quad (25)$$

2.5 Определение корней α_1 и α_2 характеристического уравнения

В общем случае решение системы уравнений (25) имеет вид (4) и (5). Однако, следует отметить, что входящие в них установившиеся значения величин $U_{C\text{уст}}$, $I_{L\text{уст}}$ уже определены (16). Остаются неизвестными только свободные составляющие $u_{CB}(t)$ и $i_{LCB}(t)$, значения которых не зависят от величины E_1 . Они определяются энергией, накопленной в электрическом поле емкости C и в магнитном поле индуктивности L . Отсюда, система уравнений (25) для свободных составляющих принимает вид:

$$\left. \begin{aligned} u_{CB} + C \frac{du_{CB}}{dt} R_1 + i_{3CB} R_1 &= 0 \\ -u_{CB} + i_{3CB} R_3 + i_{LCB} R_4 + L \frac{di_{LCB}}{dt} &= 0 \\ i_{3CB} R_{56} - i_{LCB} (R_4 + R_{56}) - L \frac{di_{LCB}}{dt} &= 0 \end{aligned} \right\} \quad (26)$$

В математике при решении дифференциальных уравнений используется прием по замене символа дифференцирования $\frac{d}{dt}$ на величину α , обладающую свойствами числа, тогда

$$\left. \begin{aligned} U_{CB} + C \cdot \alpha \cdot U_{CB} \cdot R_1 + i_{3CB} R_1 &= 0 \\ -U_{CB} + i_{3CB} R_3 + i_{LCB} R_4 + L \cdot \alpha \cdot i_{LCB} &= 0 \\ i_{3CB} R_{56} - i_{LCB} (R_4 + R_{56}) - L \cdot \alpha \cdot i_{LCB} &= 0 \end{aligned} \right\} \quad (27)$$

Согласно (27) составляем и раскрываем характеристический определитель

$$\Delta = \begin{vmatrix} U_{CB} & i_{3CB} & i_{LCB} \\ (I + \alpha C R_1) & R_1 & 0 \\ -I & R_3 & (R_4 + L\alpha) \\ 0 & R_{56} & -(R_4 + R_{56} + L\alpha) \\ (I + \alpha C R_1) & R_1 & 0 \\ -I & R_3 & (R_4 + L\alpha) \end{vmatrix} =$$

$$= 0R_3 + (I + \alpha C R_1)R_{56}(R_4 + L\alpha) + IR_1(R_4 + R_{56} + L\alpha) -$$

$$[-(I + \alpha C R_1)R_3(R_4 + R_{56} + L\alpha) - IR_{56}0 + 0R_1(R_4 + L\alpha)] \quad (28)$$

В (28) раскрываем скобки, приводим подобные члены, получаем характеристическое уравнение

$$\alpha^2 L C R_1 (R_3 + R_{56}) + \alpha [L(R_1 + R_3 + R_{56}) + C R_1 (R_3 R_4 + R_3 R_{56} + R_4 R_{56})] + R_4 (R_1 + R_3 + R_{56}) + R_{56} (R_1 + R_3) = 0$$

В нормальной форме уравнение принимает вид

$$\alpha^2 + 2\delta\alpha + \omega_0^2 = 0, \quad (29)$$

где,

$$2\delta = \frac{L(R_1 + R_3 + R_{56}) + C R_1 (R_3 R_4 + R_3 R_{56} + R_4 R_{56})}{L C R_1 (R_3 + R_{56})} =$$

$$= \frac{5 \cdot 10^{-2} (20 + 30 + 160) + 10^{-5} \cdot 20 (30 \cdot 60 + 30 \cdot 160 + 60 \cdot 160)}{5 \cdot 10^{-2} \cdot 10^5 \cdot 20 (30 + 160)} = 7,23 \cdot 10^3 1/c$$

$$\omega_0^2 = \frac{R_4(R_1 + R_3 + R_{5,6}) + R_{5,6}(R_1 + R_3)}{LCR_1(R_3 + R_{5,6})} = \frac{60(20 + 30 + 160) + 160(20 + 30)}{5 \cdot 10^{-2} \cdot 10^5 \cdot 20(30 + 160)} = 10,8 \cdot 10^6 \frac{1}{c^2}.$$

Здесь δ - коэффициент затухания переходного процесса;

ω_0 - резонансная частота. В ЭЦ на рис. 9 она наступает при замене источника E постоянного напряжения на виртуальный источник переменного напряжения частотой ω_0 .

Находим корни уравнения (29)

$$\alpha_1 = -\delta + \sqrt{\delta^2 - \omega_0^2} = -3,62 \cdot 10^3 + \sqrt{(3,62 \cdot 10^3)^2 - 10,8 \cdot 10^6} = -2,1 \cdot 10^3 \frac{1}{c}$$

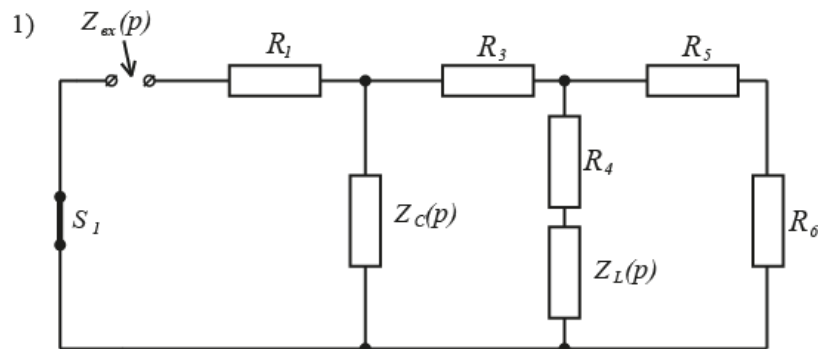
$$\alpha_2 = -\delta - \sqrt{\delta^2 - \omega_0^2} = -3,62 \cdot 10^3 - \sqrt{(3,62 \cdot 10^3)^2 - 10,8 \cdot 10^6} = -5,1 \cdot 10^3 \frac{1}{c}$$

$$\text{Итого: } \alpha_1 = -2,1 \cdot 10^3 \frac{1}{c} ; \quad \alpha_2 = -5,1 \cdot 10^3 \frac{1}{c} . \quad (30)$$

Корни α_1 и α_2 вещественные отрицательные, они соответствуют аperiodическому затухающему процессу.

2.6 Определение нулей p_1 и p_2 операционного сопротивления $Z_{вх}(p)$

Расчет корней p_1, p_2 может быть использован для проверки правильности расчета корней α_1, α_2 . Последовательность преобразований ЭЦ показана на рис.13



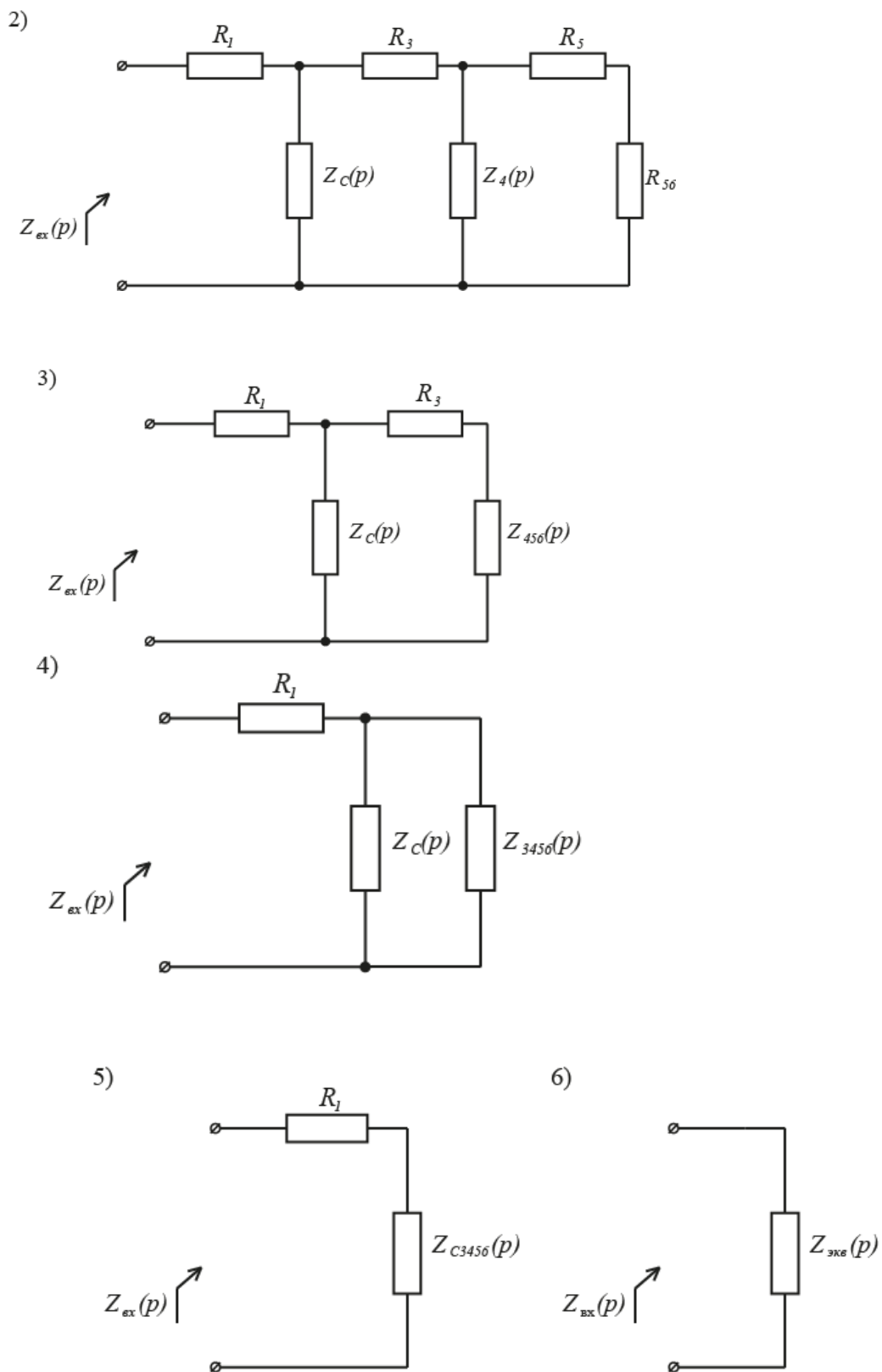


Рис.13

В расчетной схеме ключ S_1 остается в положении после коммутации, реактивные элементы представлены сопротивлениями

$$Z_C(p) = \frac{1}{pC}; \quad Z_L(p) = pL,$$

где p - оператор Лапласа.

Проводим последовательные преобразования:

$$R_{56} = R_5 + R_6;$$

$$Z_4(p) = R_4 + pL;$$

$$Z_{456}(p) = \frac{R_{56} \cdot Z_4(p)}{R_{56} + Z_4(p)};$$

$$Z_{3456}(p) = R_3 + Z_{456}(p);$$

$$Z_{C3456}(p) = \frac{Z_C(p) \cdot Z_{3456}(p)}{Z_C(p) + Z_{3456}(p)};$$

$$Z_{BX}(p) = R_1 + Z_{C3456}(p).$$

В результате последовательных подстановок и приведения подобных членов окончательно получаем

$$Z_{BX}(p) = \frac{A(p)}{B(p)} = \frac{a_1 p^2 + b_1 p + c_1}{a_2 p^2 + b_2 p + c_2} = \frac{1,9 \cdot 10^{-3} p^2 + 13,7 p + 20600}{a_2 p^2 + b_2 p + c_2},$$

где $a_1 = LCR_1(R_3 + R_{56}) = 5 \cdot 10^{-2} \cdot 10^{-5} \cdot 20(30 + 160) = 1,9 \cdot 10^{-3}$

$$b_1 = CR_1 R_3 (R_4 + R_{56}) + CR_1 R_4 R_{56} + L(R_1 + R_3 + R_{56}) = 10^{-5} \cdot 20 \cdot 30(60 + 160) + 10^{-5} \cdot 20 \cdot 60 \cdot 160 + 5 \cdot 10^{-2} (20 + 30 + 160) = 13,7$$

$$c_1 = R_{56} (R_1 + R_3 + R_4) + R_4 (R_1 + R_3) = 160(20 + 30 + 60) + 60(20 + 30) = 20600$$

$$a_2 = LC(R_3 + R_{56})$$

$$b_2 = R_3 (R_4 + R_{56}) + R_4 R_{56}$$

$$c_2 = LC(R_3 + R_{56})$$

Числитель $A(p)$ приравниваем к нулю

$$A(p) = 1,9 \cdot 10^{-3} p^2 + 13,7 p + 20600 = 0$$

Находим корни квадратного уравнения

$$\text{Итого: } p_1 = -2,1 \cdot 10^3 \frac{I}{C}; \quad p_2 = -5,1 \cdot 10^3 \frac{I}{C} \quad (31)$$

Корни (31) равны корням характеристического уравнения (30)

$$p_1 = \alpha_1; \quad p_2 = \alpha_2$$

Отсюда значения корней α_1, α_2 можно получить менее трудоемким способом, определив корни p_1, p_2 .

2.7 Определение постоянных интегрирования (корни α_1 и α_2 вещественные)

В уравнении (4) находим постоянные интегрирования A_1 и A_2 , для этого используем уравнение (4) и его производную

$$\left. \begin{aligned} u_c(t) &= u_{c\text{ycm}} + A_1 e^{\alpha_1 t} + A_2 e^{\alpha_2 t} & (4) \\ \frac{du_c(t)}{dt} &= A_1 \alpha_1 e^{\alpha_1 t} + A_2 \alpha_2 e^{\alpha_2 t} & (32) \end{aligned} \right\}$$

Используем известную зависимость

$$C \frac{du_c(t)}{dt} = i_c, \quad \text{тогда} \quad \frac{du_c(t)}{dt} = \frac{i_c}{C}. \quad (33)$$

Записываем уравнения (4) и (32) с учетом (33) при $t = 0^+$

$$\left. \begin{aligned} u_c \Big|_{t=0^+} &= U_c^+ = U_{c\text{ycm}} + A_1 + A_2 \\ \frac{du_c(t)}{dt} \Big|_{t=0^+} &= \frac{I_c^+}{C} = A_1 \alpha_1 + A_2 \alpha_2 \end{aligned} \right\} \quad (34)$$

Подставляем в (34) численные значения (15) и (16)

$$U_c^+ = -115 \text{ В}, \quad U_{c\text{ycm}} = 78,8 \text{ В}, \quad I_c^+ = 12,2 \text{ А}, \quad C = 10^{-5} \text{ Ф},$$

получаем

$$\left. \begin{aligned} -115 &= 78,8 + A_1 + A_2 \\ 12,2 \cdot 10^5 &= -2,1 \cdot 10^3 A_1 - 5,1 \cdot 10^3 A_2 \end{aligned} \right\} \quad (35)$$

Решая (35), находим

$$A_1 = 78 \text{ В}, \quad A_2 = -272 \text{ В}$$

Итого, получаем переходный процесс по напряжению на емкости

$$u_c(t) = U_{c \text{ усн}} + A_1 e^{a_1 t} + A_2 e^{a_2 t} = 78,8 + 78 \cdot e^{-2,1 \cdot 10^3 t} - 272 \cdot e^{-5,1 \cdot 10^3 t} \quad (36)$$

Проверяем (36) при $t = 0^+$

$$U_c^+ = 78,8 + 78 - 272 = -115 \text{ В},$$

$$\text{при } t \rightarrow \infty \quad U_{c \text{ усн}} = 78,8 \text{ В}.$$

Полученные результаты соответствуют (15) и (16)

В уравнении (5) находим постоянные интегрирования B_1 и B_2

$$\left. \begin{aligned} i_L(t) &= I_{L \text{ усн}} + B_1 e^{a_1 t} + B_2 e^{a_2 t} & (5) \\ \frac{di_L(t)}{dt} &= B_1 \alpha_1 e^{a_1 t} + B_2 \alpha_2 e^{a_2 t} & (37) \end{aligned} \right\}$$

Используем известную зависимость

$$L \frac{di_L(t)}{dt} = u_L, \quad \frac{di_L(t)}{dt} = \frac{u_L}{L} \quad (38)$$

Записываем уравнения (5) и (37) с учетом (38) при $t = 0^+$

$$\left. \begin{aligned} I_L \Big|_{t=0^+} &= I_L^+ = I_{L \text{ усн}} + B_1 + B_2 \\ \frac{di_L(t)}{dt} \Big|_{t=0^+} &= \frac{U_L^+}{L} = B_1 \alpha_1 + B_2 \alpha_2 \end{aligned} \right\} \quad (39)$$

В (39) подставляем численные значения (15) и (16)

$$I_L^+ = -0,95 \text{ А}, \quad I_{L \text{ усн}} = 0,78 \text{ А}, \quad U_L^+ = -16 \text{ В}, \quad L = 0,05 \text{ Гн},$$

$$\alpha_1 = -2,1 \cdot 10^3 \frac{1}{c}, \quad \alpha_2 = -5,1 \cdot 10^3 \frac{1}{c}$$

Получаем

$$\left. \begin{aligned} -0,95 &= 0,78 + B_1 + B_2 \\ -320 &= -2,1 \cdot 10^3 B_1 - 5,1 \cdot 10^3 B_2 \end{aligned} \right\} \quad (40)$$

Решая (40), находим

$$B_1 = -3,05 \text{ А}, \quad B_2 = 1,32 \text{ А}$$

Итого, получаем переходный процесс по току в индуктивности

$$i_L(t) = I_{L_{ycm}} + B_1 e^{\alpha_1 t} + B_2 e^{\alpha_2 t} = 0,78 - 3,05 \cdot e^{-2,1 \cdot 10^3 t} + 1,32 \cdot e^{-5,1 \cdot 10^3 t} \quad (41)$$

Проверяем (41) при $t = 0^+$

$$I_L^+ = 0,78 - 3,05 + 1,32 = -0,95 \text{ А},$$

при

$$t \rightarrow \infty \quad I_{L_{ycm}} = 0,78 \text{ А}$$

Полученные результаты соответствуют (15) и (16)

2.8 Определение постоянных интегрирования

(корни α_1 и α_2 комплексно-сопряженные)

В качестве примера рассмотрим некоторую ЭЦ со следующими параметрами

$$C = 50 \cdot 10^{-6} \text{ Ф}; \quad L = 0,1 \text{ Гн}; \quad U_C^+ = -50 \text{ В}; \quad I_C^+ = 0,4 \text{ А};$$

$$I_L^+ = 3,0 \text{ А}; \quad U_L^+ = -24 \text{ В}; \quad U_{C_{ycm}} = 90 \text{ В}; \quad I_{L_{ycm}} = 6,0 \text{ А};$$

$$\left. \frac{di_L}{dt} \right|_{t=0^+} = \frac{U_L^+}{L} = \frac{-24}{0,1} = -240 \frac{\text{А}}{\text{с}};$$

$$\alpha_{1,2} = -\delta \pm \sqrt{\delta^2 - \omega_0^2} = -\delta \pm j\omega_{ce} = -500 \pm j \cdot 3 \cdot 10^3 \frac{1}{c},$$

В общем случае зависимость $u_C(t)$ имеет вид:

$$u_C(t) = U_{C_{ycm}} + u_{C_{ce}}(t) = U_{C_{ycm}} + A \cdot e^{-\delta t} \sin(\omega_{ce} t + \varphi_{U_C}), \quad (42)$$

где A, φ_{U_C} - искомые постоянные интегрирования;

ω_0 - резонансная частота;

$\omega_{св}$ - частота свободных затухающих колебаний;

Производная функции $u_C(t)$

$$\frac{du_C(t)}{dt} = -A \cdot \delta \cdot e^{-\delta t} \cdot \sin(\omega_{св} t + \varphi_{U_C}) + A \cdot e^{-\delta t} \cdot \omega_{св} \cdot \cos(\omega_{св} t + \varphi_{U_C}) \quad (43)$$

При $t = 0^+$ уравнения (42) и (43) принимают вид:

$$\left. \begin{aligned} U_C^+ &= U_{C_{ycm}} + A \cdot \sin \varphi_{U_C} \\ \frac{du_C(t)}{dt} \Big|_{t=0^+} &= -A \delta \cdot \sin \varphi_{U_C} + A \cdot \omega_{св} \cdot \cos \varphi_{U_C} \end{aligned} \right\} \quad (44)$$

Перепишем (44) в виде:

$$\left. \begin{aligned} A \cdot \sin \varphi_{U_C} &= U_C^+ - U_{C_{ycm}} = -50 - 90 = -140 \text{ В} \\ A \cdot \omega_{св} \cdot \cos \varphi_{U_C} &= \frac{du_C(t)}{dt} \Big|_{t=0^+} + \delta A \cdot \sin \varphi_{U_C} = 8000 - 500 \cdot 140 = -62 \cdot 10^3 \text{ В/с}, \end{aligned} \right\} \quad (45)$$

где $\frac{du_C(t)}{dt} \Big|_{t=0^+} = \frac{I_C^+}{C} = \frac{0,4}{50 \cdot 10^{-6}} = 8000 \frac{\text{В}}{\text{с}}$;

Делим, левые и правые части уравнений (45);

$$\operatorname{tg} \varphi_{U_C} = \frac{-140}{-62 \cdot 10^3} \cdot \omega_{св} = \frac{-140 \cdot 3,0 \cdot 10^3}{-62 \cdot 10^3} = 6,77.$$

Находим постоянную интегрирования φ_{U_C} :

$$\varphi_{U_C} = \operatorname{arctg} 6,77 = 81,6^\circ = 1,42 \text{ рад}.$$

Находим постоянную интегрирования A из (45):

$$A = \frac{-140}{\sin 81,6^\circ} = -142 \text{ В}.$$

Итого, уравнение переходного процесса напряжения на емкости:

$$u_C(t) = 90 - 142 \cdot e^{-500t} \cdot \sin(3,0 \cdot 10^3 t + 81,6^\circ) \text{ В}. \quad (46)$$

В общем случае зависимость $i_L(t)$, имеет вид:

$$i_L(t) = I_{L_{ycm}} + i_{L_{св}}(t) = I_{L_{ycm}} + D \cdot e^{-\delta t} \sin(\omega_{св} t + \varphi_{i_L}), \quad (47)$$

где D, φ_{i_L} - искомые постоянные интегрирования.

Производная функции $i_L(t)$:

$$\frac{di_L(t)}{dt} = -D \cdot \delta e^{-\delta t} \cdot \sin(\omega_{ce} t + \varphi_{i_L}) + D \cdot e^{-\delta t} \cdot \omega_{ce} \cdot \cos(\omega_{ce} t + \varphi_{i_L}) \quad (48)$$

При $t = 0^+$ уравнения (47) и (48) принимают вид:

$$I_L^+ = I_{L_{ycm}} + D \cdot \sin \varphi_{i_L} \quad (49)$$

$$\left. \frac{di_L(t)}{dt} \right|_{t=0^+} = -D\delta \cdot \sin \varphi_{i_L} + D \cdot \omega_{ce} \cdot \cos \varphi_{i_L} \quad (50)$$

Перепишем (49) и (50) при $t = 0^+$ в следующем виде:

$$D \cdot \sin \varphi_{i_L} = I_L^+ - I_{L_{ycm}} = 3,0 - 6,0 = -3,0 \text{ А}; \quad (51)$$

$$D \cdot \omega_{ce} \cos \varphi_{i_L} = \left. \frac{di_L(t)}{dt} \right|_{t=0^+} + \delta \cdot D \cdot \sin \varphi_{i_L} = -240 - 500 \cdot 3 = -1740 \text{ А/с}, \quad (52)$$

где
$$\left. \frac{di_L(t)}{dt} \right|_{t=0^+} = \frac{U_L^+}{L} = \frac{-24}{0,1} = -240 \frac{\text{А}}{\text{с}}.$$

Делим, левые и правые части (51) и (52), получаем:

$$\text{tg} \varphi_{i_L} = \frac{-3,0 \cdot 3 \cdot 10^3}{-1,74 \cdot 10^3} = 5,22.$$

Находим постоянную интегрирования φ_{i_L} :

$$\varphi_{i_L} = \text{arctg} 5,22 = 79^\circ = 1,4 \text{ рад.}$$

Находим постоянную интегрирования D из (51):

$$D = \frac{-3,0}{\sin 79^\circ} = -3,05 \text{ А.}$$

Итого, уравнение переходного процесса тока в индуктивности:

$$i_L(t) = 6,0 - 3,05 \cdot e^{-500t} \cdot \sin(3 \cdot 10^3 t + 79^\circ) \text{ А.} \quad (53)$$

Проверяем уравнения (46) и (53) при $t = 0^+$ и $t \rightarrow \infty$:

$$U_C^+ = 90 - 142 \cdot \sin 81,6^\circ = -50 \text{ В.} \quad U_{C_{ycr}} = 90 \text{ В.}$$

$$I_L^+ = 6,0 - 3,05 \cdot \sin 79^\circ = 3,0 \text{ А.} \quad I_{L_{ycr}} = 6,0 \text{ А.}$$

Полученные результаты соответствуют (15) и (16).

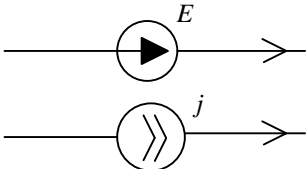
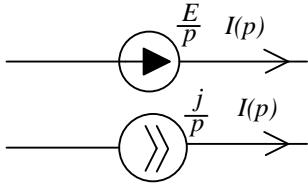
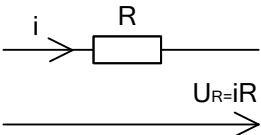
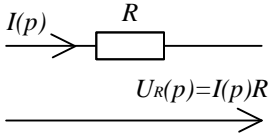
3. Исследование переходного процесса в линейной ЭЦ операционным методом

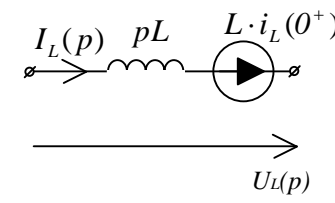
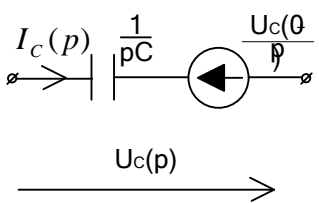
3.1 Построение операционной схемы замещения

Метод основан на прямом и обратном преобразованиях Лапласа. Его достоинства в том, что операции дифференцирования и интегрирования во временной области $x(t)$ заменяются более простыми алгебраическими операциями в комплексной плоскости с изображениями $X(p)$. При этом отпадает необходимость достаточно сложных действий по определению постоянных интегрирования, как это принято в классическом методе расчета переходного процесса.

Операционные схемы замещения элементов ЭЦ с ненулевыми начальными условиями приведены в табл. 2

Таблица 2

Временная область	Операционная схема
<p>Источник электрической энергии</p>  <p>The diagram shows two parallel horizontal lines representing circuit terminals. The top line contains a circle with a right-pointing arrow, labeled 'E'. The bottom line contains a circle with two right-pointing arrows, labeled 'j'. Both lines end with arrows pointing to the right.</p>	 <p>The diagram shows two parallel horizontal lines. The top line contains a circle with a right-pointing arrow, labeled $\frac{E}{p}$. The bottom line contains a circle with two right-pointing arrows, labeled $\frac{j}{p}$. Both lines end with arrows pointing to the right, labeled $I(p)$.</p>
<p>Резистивный элемент</p>  <p>The diagram shows a horizontal line with a rectangular box labeled 'R' in the middle. An arrow labeled 'i' points into the box from the left. Below the line, an arrow labeled $U_R=iR$ points to the right.</p>	 <p>The diagram shows a horizontal line with a rectangular box labeled 'R' in the middle. An arrow labeled $I(p)$ points into the box from the left. Below the line, an arrow labeled $U_R(p)=I(p)R$ points to the right.</p>

<p>Индуктивный элемент</p>  <p>$i_L(t)$</p> <p>$u_L(t) = L \cdot \frac{di_L(t)}{dt}$</p>	 <p>$I_L(p)$ pL $L \cdot i_L(0^+)$</p> <p>$U_L(p)$</p>
<p>Емкостный элемент</p>  <p>$i_c(t)$</p> <p>$u_c(t) = \frac{1}{C} \int_0^t i_c(t) dt$</p>	 <p>$I_C(p)$ $\frac{1}{pC}$ $\frac{U_C(0)}{p}$</p> <p>$U_C(p)$</p>

Для исследуемой ЭЦ на рис. 14 построена операционная схема замещения

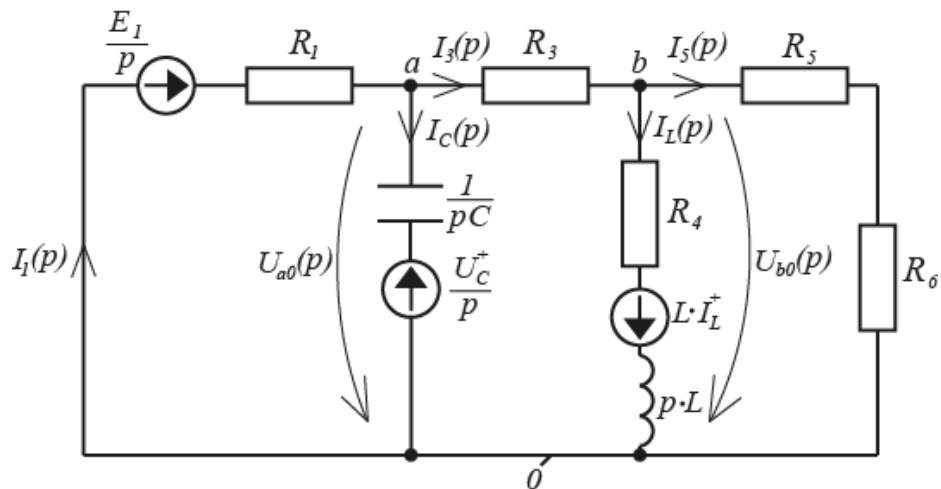


Рис.14

3.2 Определение изображений $U_C(p)$ и $I_L(p)$

Расчет ЭЦ в операционном виде может быть выполнен: по законам Кирхгофа; методом токов связей; методом узловых напряжений.

Система уравнений содержит в первом случае пять уравнений, во втором – три, в третьем - два уравнения.

Для расчета данной ЭЦ рациональным является метод узловых напряжений, по нему система уравнений принимает следующий вид:

$$\left. \begin{aligned} U_{a0}(p) \cdot Y_{11}(p) - U_{b0}(p) \cdot Y_{12}(p) &= \frac{E_1}{p} \cdot Y_1(p) + \frac{U_c^+}{p} \cdot Y_c(p) & (54) \\ U_{b0}(p) \cdot Y_{22}(p) - U_{a0}(p) \cdot Y_{12}(p) &= -L^+ \cdot i_L^+ \cdot Y_4(p) & (55) \end{aligned} \right\}$$

Здесь приняты в операционной форме:

$U_{a0}(p), U_{b0}(p)$ - узловые напряжения;

$Y_{11}(p), Y_{22}(p), Y_1(p), Y_c(p), Y_3(p), Y_4(p), Y_5(p)$ - собственные проводимости узлов 1, 2 и проводимости ветвей:

$$Y_{11}(p) = Y_1(p) + Y_c(p) + Y_3(p) = \frac{1}{R_1} + pC + \frac{1}{R_3};$$

$$Y_{22}(p) = Y_3(p) + Y_4(p) + Y_5(p) = \frac{1}{R_3} + \frac{1}{R_4 + pL} + \frac{1}{R_5 + R_6}$$

С целью упрощения записи принимаем $U(p) \rightarrow U, Y(p) \rightarrow Y$. Уравнения (54) и (55) принимают вид:

$$\left. \begin{aligned} U_{a0}(Y_1 + Y_c + Y_3) - U_{b0} \cdot Y_3 &= \frac{E_1}{p} \cdot Y_1 + \frac{U_c^+}{p} \cdot Y_c & (56) \\ U_{b0}(Y_3 + Y_4 + Y_5) - U_{a0} \cdot Y_3 &= -L \cdot i_L^+ \cdot Y_4 & (57) \end{aligned} \right\}$$

Из (57) находим

$$U_{b0} = \frac{-L \cdot i_L^+ \cdot Y_4 + U_{a0} \cdot Y_3}{Y_3 + Y_4 + Y_5} \quad (58)$$

Подставляем (58) в (56), находим

$$U_{a0} = \frac{A(p)}{B(p)} = \frac{E_1 \cdot Y_1 \cdot Y_{22} + U_c^+ \cdot Y_c \cdot Y_{22} - Li_L^+ Y_4 Y_3 \cdot p}{p(Y_{22} \cdot Y_{11} - Y_{12} Y_3)} \quad (59)$$

Числитель $A(p)$

$$A(p) = \frac{E_1 Y_1 [(Y_3 + Y_5)(R_4 + pL) + 1] + U_c [(Y_3 + Y_5)(R_4 + pL) + 1] pC - Li_L^+ Y_3 \cdot p}{R_4 + pL} =$$

$$= \frac{a_1 p^2 + a_2 p + a_3}{R_4 + pL} \quad (60)$$

где, $a_1 = U_c^+ LC(Y_3 + Y_5) = -115 \cdot 0,05 \cdot 10^{-5} \cdot 0,040 = -2,28 \cdot 10^{-6}$

$$a_2 = E_1 LY_1(Y_3 + Y_5) + U_c^+ CR_4(Y_3 + Y_5) + U_c^+ \cdot C - Li_L^+ Y_3 = 100 \cdot 0,05 \cdot 0,040 \cdot 0,05 -$$

$$- 115 \cdot 10^{-5} \cdot 0,040 \cdot 60 - 115 \cdot 10^{-5} + 0,05 \cdot 0,95 \cdot 0,033 = 7,63 \cdot 10^{-3}$$

$$a_3 = E_1 Y_1(Y_3 + Y_5)R_4 + E_1 Y_1 = 100 \cdot 0,05 \cdot 0,040 \cdot 60 + 100 \cdot 0,05 = 16,9$$

Знаменатель $B(p)$

$$B(p) = p \cdot \frac{[(Y_3 + Y_5)(R_4 + pL) + 1](Y_1 + Y_3 + pC) - Y_3 Y_3 R_4 - Y_3 Y_3 pL}{R_4 + pL} = \frac{p(b_1 p^2 + b_2 p + b_3)}{R_4 + pL}, \quad (61)$$

где, $b_1 = LC(Y_3 + Y_5) = 0,05 \cdot 10^{-5} \cdot 0,040 = 1,98 \cdot 10^{-8}$

$$b_2 = L(Y_3 + Y_5)(Y_1 + Y_3) + C(Y_3 + Y_5)R_4 + C - LY_3 Y_3 = 0,05 \cdot 0,083 \cdot 0,040 + 10^{-5} \cdot 0,083 \cdot 60 + 10^{-5} -$$

$$- 0,05 \cdot 0,033 \cdot 0,033 = 143 \cdot 10^{-6}$$

$$b_3 = (Y_1 + Y_3)(Y_3 + Y_5)R_4 + (Y_1 + Y_3) - Y_3 Y_3 R_y = 0,083 \cdot 0,040 \cdot 60 + 0,083 - 0,033 \cdot 0,033 \cdot 60 = 0,214$$

В нормальной форме изображение $U_{a0}(p)$ принимает вид

$$U_{a0}(p) = U_c(p) = \frac{A(p)}{B(p)} = \frac{a_1 p^2 + a_2 p + a_3}{p(b_1 p^2 + b_2 p + b_3)} = \frac{-115(p^2 - 3,32 \cdot 10^3 p - 7,43 \cdot 10^6)}{p(p^2 + 7,19 \cdot 10^3 p + 10,8 \cdot 10^6)}. \quad (62)$$

3.3 Определение оригиналов $u_c(t)$, $i_L(t)$

По изображению $U_c(p)$ можно определить оригинал функции $u_c(t)$. Это возможно двумя способами:

- по формулам соответствия, приведенным в справочниках по операционному методу. Выражение для изображения при этом необходимо привести к табличному виду в справочнике (Приложение 1);
- по формуле разложения, полученной из теоремы разложения.

Оригинал напряжения $u_c(t)$ на емкости находим с использованием формулы разложения:

$$U_{a0}(p) = \frac{A(p)}{B(p)} \Rightarrow U_{a0}(t) = \sum_{k=1}^3 \frac{A(pk)}{B'(pk)} \cdot e^{p_k t} \quad (63)$$

Порядок действий следующий.

1. Приравнять полином знаменателя к нулю,

$$B(p) = p(b_1 p^2 + b_2 p + b_3) = 0$$

и найти его корни т.е полюса (62), p_0, p_1, p_2 .

2. Взять производную по p от полинома знаменателя и получить полином

$$B'(p) = \frac{dB(p)}{dp} = 3b_1 p^2 + 2b_2 p + b_3$$

3. Подставить каждый из корней (полюсов) в $A(p)$ и $B'(p)$, тогда оригинал $u_c(t)$ принимает вид

$$u_c(t) = \frac{A(p_0)}{B'(p_0)} \cdot e^{p_0 t} + \frac{A(p_1)}{B'(p_1)} \cdot e^{p_1 t} + \frac{A(p_2)}{B'(p_2)} \cdot e^{p_2 t}. \quad (64)$$

где $B'(p_0), B'(p_1), B'(p_2)$ - производные знаменателя с подстановкой в них корней p_0, p_1, p_2 ;

$A(p_0), A(p_1), A(p_2)$ - значения числителя $A(p)$ при подстановке в него корней знаменателя p_0, p_1, p_2 .

Находим корни $B(p)$ в (61)

$$B(p) = p(p^2 + 7,19 \cdot 10^3 p + 10,8 \cdot 10^6) = 0$$

$$p_0 = 0$$

$$p_{1,2} = -3,6 \cdot 10^3 \pm \sqrt{(3,6 \cdot 10^3)^2 - 10,8 \cdot 10^6} = -3,6 \cdot 10^3 \pm 1,5 \cdot 10^3 \frac{1}{c}$$

$$p_1 = -2,1 \cdot 10^3 \frac{1}{c}$$

$$p_2 = -5,1 \cdot 10^3 \frac{1}{c}$$

Корни p_1, p_2 вещественные отрицательные, они равны значениям α_1, α_2 (30).

Переходный процесс апериодический затухающий.

Производная знаменателя $B(p)$ по p , т.е. $B'(p)$

$$B'(p) = (b_{11}p^3 + b_{21}p^2 + b_{31}p)' = 3b_{11}p^2 + 2b_{21}p + b_{31}, \quad (65)$$

где $b_{11} = 1$, $b_{21} = \frac{b_2}{b_1}$, $b_{31} = \frac{b_3}{b_1}$.

Подставляем численные значения в $B'(p)$

$$\begin{aligned} B'(p_0) &= 10,8 \cdot 10^6 \\ B'(p_1) &= \left[3 \cdot 1 \cdot (-2,1)^2 + 2 \cdot 7,19(-2,1) + 10,8 \right] \cdot 10^6 = -6,25 \cdot 10^6 \\ B'(p_2) &= \left[3 \cdot 1 \cdot (-5,1)^2 + 2 \cdot 7,19(-5,1) + 10,8 \right] \cdot 10^6 = 14,3 \cdot 10^6 \end{aligned}$$

Подставляем значения корней p_0, p_1, p_2 в числитель $A(p)$ (60)

$$\begin{aligned} A(p_0) &= 115 \cdot 7,43 \cdot 10^6 = 850 \cdot 10^6 \\ A(p_1) &= -115 \left[(-2,1 \cdot 10^3)^2 - 3,32 \cdot 10^3 (-2,1 \cdot 10^3) - 7,43 \cdot 10^6 \right] = -505 \cdot 10^6 \\ A(p_2) &= -115 \left[(-5,1 \cdot 10^3)^2 - 3,32 \cdot 10^3 (-5,1 \cdot 10^3) - 7,46 \cdot 10^6 \right] = -3,95 \cdot 10^9 \end{aligned}$$

Оригинал напряжения $u_c(t)$ на емкости

$$\begin{aligned} u_c(t) &= \frac{A(p_0)}{B'(p_0)} \cdot e^{p_0 t} + \frac{A(p_1)}{B'(p_1)} \cdot e^{p_1 t} + \frac{A(p_2)}{B'(p_2)} \cdot e^{p_2 t} = \frac{850 \cdot 10^6}{10,8 \cdot 10^6} \cdot e^{-0t} + \frac{505 \cdot 10^6}{-6,25 \cdot 10^6} \cdot e^{-2,1 \cdot 10^3 t} + \\ &+ \frac{3,95 \cdot 10^9}{14,3 \cdot 10^6} \cdot e^{-5,1 \cdot 10^3 t} = 78,8 + 80 \cdot e^{-2,1 \cdot 10^3 t} - 274 \cdot e^{-5,1 \cdot 10^3 t} \end{aligned} \quad (66)$$

Полученное выражение (66) соответствует (36).

Расчет тока $i_L(t)$ в индуктивности L выполняется в следующей последовательности:

- из (26) найти выражение $U_{b0}(p)$;
- составить уравнение по закону напряжений Кирхгофа для контура, образованного ветвью 4 и напряжением $U_{b0}(p)$ (рис. 14)

$$I_L(p) \cdot (R_4 + pL) - U_{b0}(p) = L \cdot i_L^+; \quad (67)$$

- найти изображение тока $I_L(p)$ в индуктивности L

$$I_L(p) = \frac{L \cdot i_L^+ + U_{b0}(p)}{R_4 + pL}; \quad (68)$$

- в итоге привести выражение $I_L(p)$ к табличному виду, или применить формулу разложения;
- определить оригинал тока $i_L(t)$.

4. Формирование уравнений состояния ЭЦ

4.1 Составление уравнений состояния линейной ЭЦ

Уравнения состояния далее используются для расчета переходного процесса на компьютере.

Переходный процесс сопровождается изменением энергии электрического поля емкости C , $W_C(t) = \frac{Cu_C^2(t)}{2}$, и магнитного поля индуктивности L , $W_L(t) = \frac{Li_L^2(t)}{2}$, а также потреблением энергии от ИЭЭ.

За основу принимаем систему дифференциальных уравнений (25), при этом сохраняем переменные энергетического состояния $u_C(t)$, $i_L(t)$, а также источник напряжения E_1 .

$$\left. \begin{aligned} u_C + C \frac{du_C(t)}{dt} R_1 + i_3 R_1 &= E_1 & (69) \\ -u_C + i_3 R_3 + i_L R_4 + L \frac{di_L(t)}{dt} &= 0 & (70) \\ i_3 R_{56} - i_L (R_4 + R_{56}) - L \frac{di_L(t)}{dt} &= 0 & (71) \end{aligned} \right\}$$

Из (69) находим далее исключаемую переменную $i_3(t)$

$$i_3 = \frac{E_1}{R_1} - \frac{U_C}{R_1} - C \frac{dU_C}{dt} \quad (72)$$

Суммируем левые и правые части уравнений (70) и (71), получаем:

$$i_3 (R_3 + R_{56}) - i_L R_{56} - U_C = 0 \quad (73)$$

Подставляем (72) в (73), получаем:

$$\frac{du_C(t)}{dt} = -a_{11}u_C - a_{12}i_L + b_1E_1 = -5,5 \cdot 10^3 u_C - 84 \cdot 10^3 i_L + 5 \cdot 10^3 E_1, \quad (74)$$

где

$$a_{11} = \frac{R_1 + R_3 + R_{56}}{R_1 C (R_3 + R_{56})} = \frac{20 + 30 + 160}{20 \cdot 10^{-5} (30 + 160)} = 5,5 \cdot 10^3$$

$$a_{12} = \frac{R_{56}}{C (R_3 + R_{56})} = \frac{160}{10^{-5} (30 + 160)} = 84 \cdot 10^3$$

$$b_1 = \frac{1}{R_1 C} = \frac{1}{20 \cdot 10^{-5}} = 5 \cdot 10^3$$

Подставляем (72) и (74) в (70), получаем:

$$\frac{di_L(t)}{dt} = a_{21}u_C - a_{22}i_L + b_2E = 16,8u_C - 1705i_L + 0 \cdot E_1 \quad (75)$$

где,

$$a_{21} = \frac{1}{L} \left(1 - \frac{R_3}{R_3 + R_{56}}\right) = \frac{1}{0,05} \left(1 - \frac{30}{30 + 160}\right) = 16,8$$

$$a_{22} = \frac{1}{L} \left(R_4 + \frac{R_3 \cdot R_{56}}{R_3 + R_{56}}\right) = \frac{1}{0,05} \left(60 + \frac{30 \cdot 160}{30 + 160}\right) = 1705$$

$$b_2 = 0$$

Итого, получаем в нормальном виде искомую систему дифференциальных уравнений:

$$\left. \begin{aligned} \frac{du_C(t)}{dt} &= -a_{11}u_C - a_{12}i_L + b_1E_1 = -5,5 \cdot 10^3 \cdot u_C - 84 \cdot 10^3 i_L + 5 \cdot 10^3 E_1 \\ \frac{di_L(t)}{dt} &= a_{21}u_C - a_{22}i_L + b_2E_1 = 16,8 \cdot u_C - 1705i_L + 0 \cdot E_1 \end{aligned} \right\} \quad (76)$$

Проверим правильность формирования уравнений состояния. В установившемся режиме все производные становятся равными нулю.

$$\left. \begin{aligned} -5,5 \cdot 10^3 \cdot U_{C \text{ уст}} - 84 \cdot 10^3 \cdot I_{L \text{ уст}} + 500 \cdot 10^3 &= 0 \\ 16,8 \cdot U_{C \text{ уст}} - 1705 \cdot I_{L \text{ уст}} &= 0 \end{aligned} \right\} \quad (77)$$

Решая систему уравнений (77), находим

$$U_{C \text{ уст}} = 78,8 \text{ В}, \quad I_{L \text{ уст}} = 0,78 \text{ А}$$

Полученные значения $U_{C \text{ уст}}$ и $I_{L \text{ уст}}$ равны соответствующим значениям (16).

4.2 Составление уравнений состояния нелинейной ЭЦ (УИРС)

Этот пункт технического задания выполняется в рамках учебно-исследовательской работы студентов (УИРС)

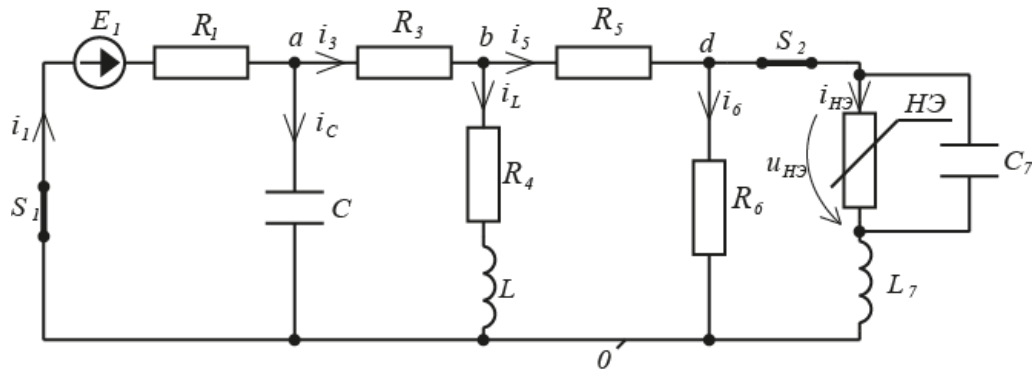


Рис.15

В исследуемой ЭЦ ключ S_2 замыкается и к линейной ЭЦ подключается ветвь с резистивным нелинейным элементом НЭ (рис.15), образуется нелинейная ЭЦ. В этой цепи возникает переходный процесс, который со временем затухает и нелинейная ЭЦ переходит в установившийся режим.

Вольтамперную характеристику резистивного нелинейного элемента представляем в виде аналитической зависимости

$$I_{HЭ} = a_1 U_{HЭ} + a_2 U_{HЭ}^2 + a_3 U_{HЭ}^3 + a_4 U_{HЭ}^4 \quad (78)$$

Коэффициенты аппроксимации a_1, a_2, a_3, a_4 могут быть рассчитаны по методу наименьших квадратов или по методу выбранных точек. За выбранные точки могут быть приняты табличные значения ВАХ НЭ технического задания.

Алгоритм формирования искоемых уравнений и порядок их расчета изложен в [4]. Запишем уравнения состояния исследуемой нелинейной ЭЦ в нормальной форме:

$$\left. \begin{aligned} \frac{du_C(t)}{dt} &= f_1(u_C, i_L, i_{HЭ}) \\ \frac{di_L(t)}{dt} &= f_2(u_C, i_L, i_{HЭ}) \\ \frac{di_{HЭ}(t)}{dt} &= f_3(u_C, i_L, i_{HЭ}) \end{aligned} \right\} \quad (79)$$

Решение этой нелинейной системы уравнений может быть реализовано на основе одного из численных методов.

4.3 Расчет нелинейной ЭЦ в установившемся режиме

Целью такого расчета является определение в установившемся режиме следующих величин: напряжения $U_{HЭ\text{уст}}$ и тока $I_{HЭ\text{уст}}$ на НЭ; заряда Q_{C7} на емкости C_7 ; магнитного потока Ψ_{L7} на индуктивности L_7 (в качестве примера принимаем $L_7=15\text{мГн}$). Ток $I_{HЭ\text{уст}}$ через НЭ находим методом эквивалентного источника напряжения. При этом линейная часть ЭЦ относительно узлов $d0$ заменяется эквивалентным источником с ЭДС $E_{ЭКВ}$ и внутренним сопротивлением $R_{ЭКВ}$.

Искомые напряжение $U_{HЭ\text{уст}}$ и ток

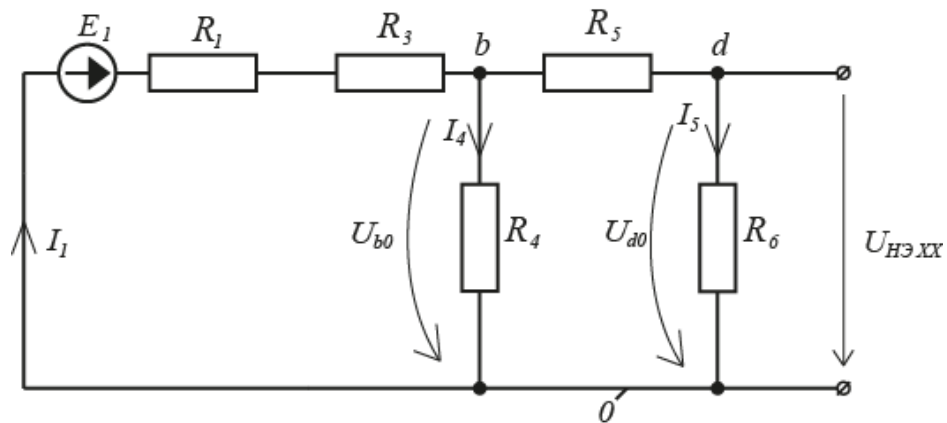


Рис.16

Находим $E_{ЭКВ}$ в режиме холостого хода (разрыв) ветви НЭ электрической цепи (рис.16)

$$E_{ЭКВ} = U_{HЭХХ} = I_5 R_6 = 0,29 \cdot 70 = 20,4 \text{ В}, \quad (80)$$

где

$$I_5 = \frac{U_{bo}}{R_5 + R_6} = \frac{46,6}{90 + 70} = 0,29 \text{ А};$$

$$U_{bo} = \frac{E_1 \cdot R_{456}}{R_1 + R_3 + R_{456}} = \frac{100 \cdot 43,6}{20 + 30 + 43,6} = 46,6 \text{ В};$$

$$R_{456} = \frac{R_4(R_5 + R_6)}{R_4 + R_5 + R_6} = \frac{60(90 + 70)}{60 + 90 + 70} = 43,6 \text{ Ом}.$$

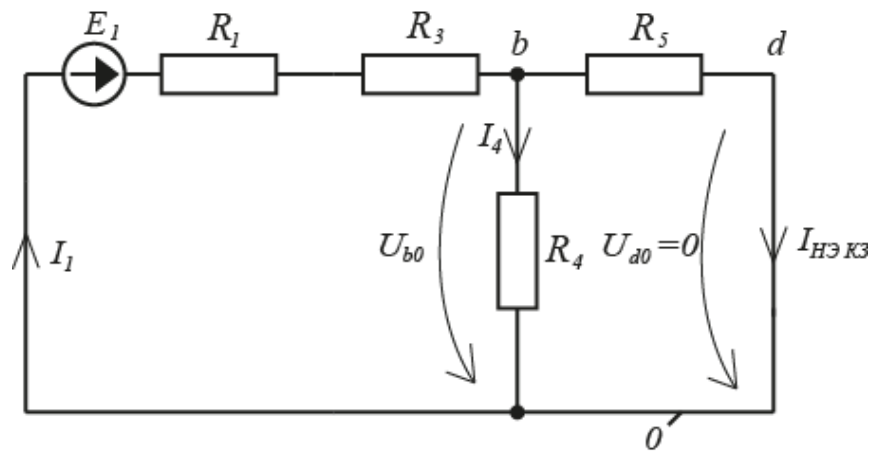


Рис.17

Находим ток $I_{HЭКЗ}$ в режиме короткого замыкания ветви с НЭ (рис. 17)

$$I_{HЭКЗ} = \frac{U_{b0}}{R_5} = \frac{41,9}{90} = 0,47 \text{ A}, \quad (81)$$

где

$$U_{b0} = I_1 R_{45} = 1,16 \cdot 36 = 41,9 \text{ B},$$

$$I_1 = \frac{E_1}{R_1 + R_3 + R_{45}} = \frac{100}{20 + 30 + 36} = 1,16 \text{ A},$$

$$R_{45} = \frac{R_4 \cdot R_5}{R_4 + R_5} = \frac{60 \cdot 90}{60 + 90} = 36 \text{ Ом}.$$

На рис. 18 построена ВАХ НЭ в относительных единицах, где обозначены точки: B - короткого замыкания; D – холостого хода. Через эти точки проводим прямую BD , получаем точку пересечения A .

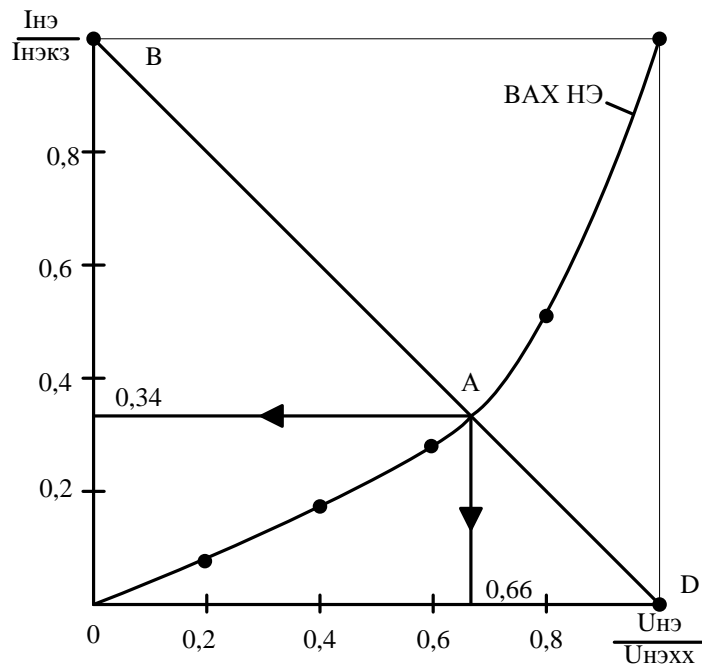


Рис.18

Находим координаты точки A :

$$\frac{U_{HЭA}}{U_{HЭХХ}} = 0,66, \text{ отсюда } U_{HЭ} = U_{HЭA} = 0,66 \cdot U_{HЭХХ} = 0,66 \cdot 20,4 = 13,5 \text{ В} \quad (82)$$

$$\frac{I_{HЭA}}{I_{HЭКЗ}} = 0,34, \text{ отсюда } I_{HЭ} = I_{HЭA} = 0,34 \cdot I_{HЭКЗ} = 0,34 \cdot 0,47 = 0,16 \text{ А} \quad (83)$$

Находим заряд емкости C_7 и магнитный поток индуктивности L_7

$$Q_7 = C_7 \cdot U_{HЭ} = 120 \cdot 10^{-6} \cdot 13,5 = 1,6 \cdot 10^{-3} \text{ Кл} \quad (84)$$

$$\Psi_7 = L_7 I_{HЭ} = 25 \cdot 10^{-3} \cdot 0,16 = 4,0 \cdot 10^{-3} \text{ Вб} \quad (85)$$

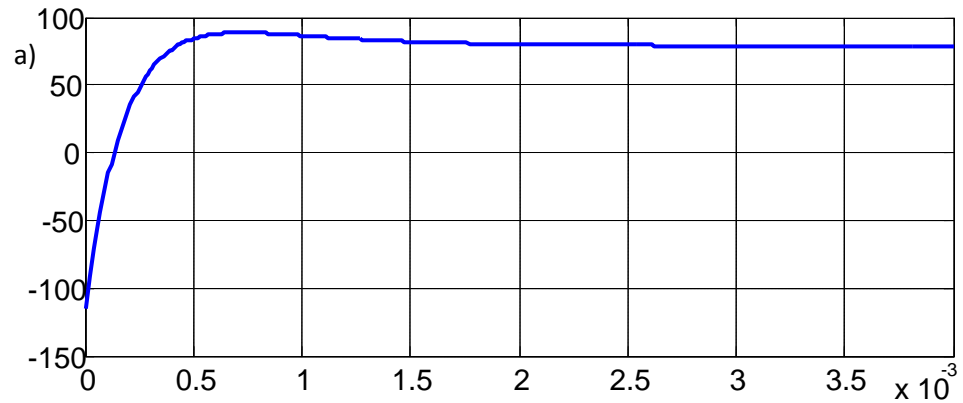
Итого, получены все искомые величины ветви с НЭ.

5. Компьютерное исследование переходного процесса в линейной ЭЦ

5.1. Построение переходного процесса (корни α_1, α_2 - вещественные)

Расчет выполнен в пакете Matlab. Программа расчета приведена в Приложении 2.

Напряжение на емкости C , В



Ток в индуктивности L , А

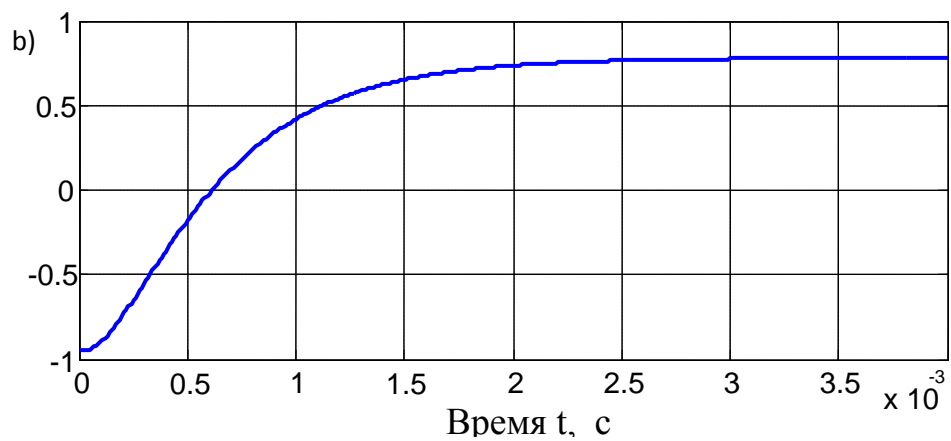


Рис. 19. Переходный процесс в линейной ЭЦ, корни α_1, α_2 вещественные:

a) $u_c(t)$; b) $i_L(t)$

5.2. Построение переходного процесса (корни α_1, α_2 комплексно-сопряженные)

Расчет выполнен в пакете Mathcad. Программа расчета приведена в Приложении 3

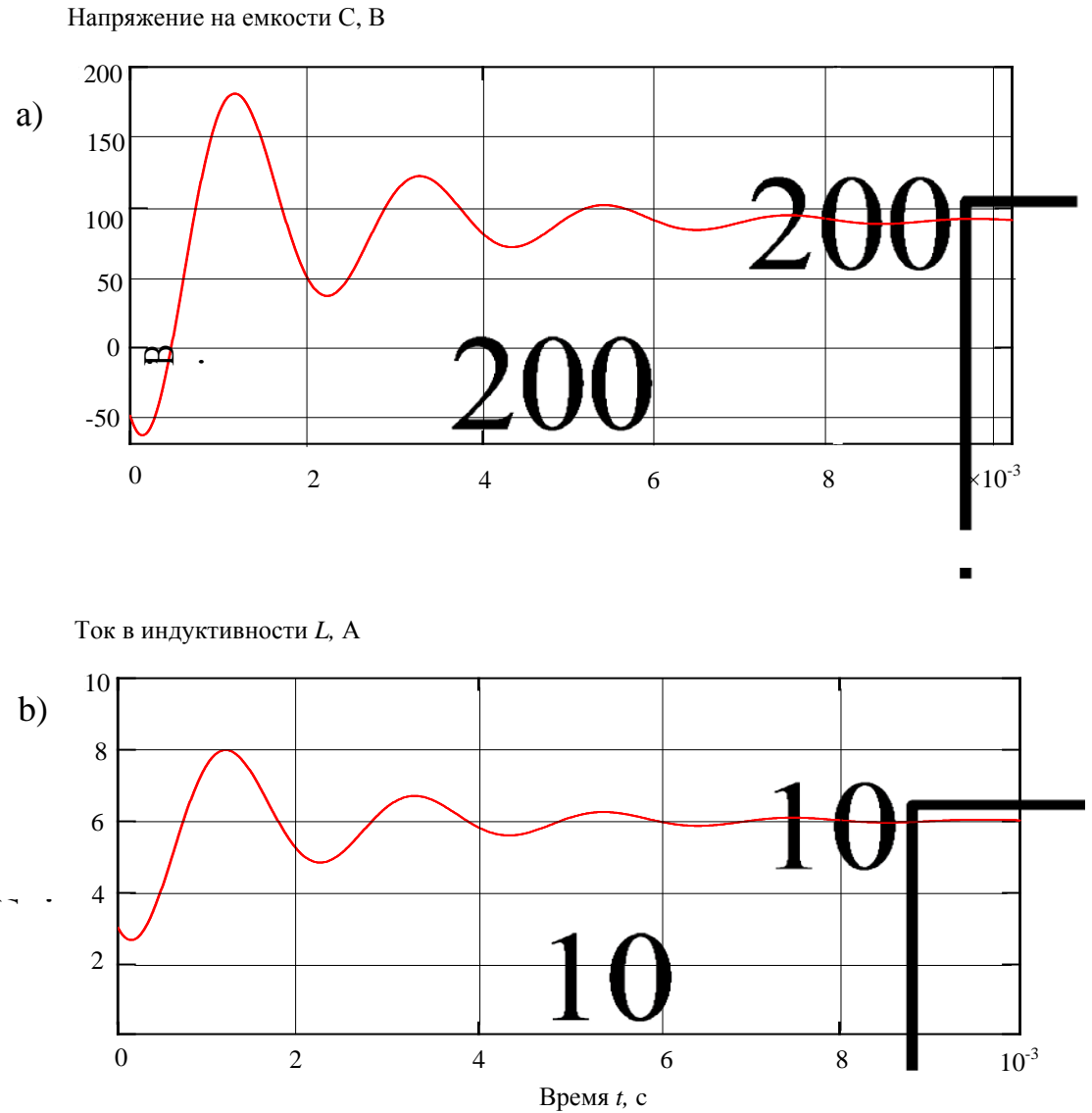


Рис. 20. Переходный процесс в линейной ЭЦ, корни α_1, α_2 комплексно-сопряженные: а) $u_c(t)$; б) $i_L(t)$

Для оценки скорости затухания колебаний используем декремент колебаний

$$\Delta = \frac{I_{1m}}{I_{2m}} = e^{\delta T_{св}} = e^{500 \cdot 2,1 \cdot 10^{-3}} = 2,86,$$

где I_{1m}, I_{2m} значения первого и второго максимума тока относительно установившегося значения $I_{уст}$ (определяется из рис.20);

δ - коэффициент затухания, $\delta=500$;

$T_{св}$ - период свободных колебаний.

$$T_{св} = \frac{2\pi}{\omega_{св}} = \frac{2\pi}{3000} = 2,1 \cdot 10^{-3} \text{ с.}$$

Итого, $\Delta = 2,86$, колебания практически затухают при $t \geq 3 \cdot T_{св}$.

Заключение (выводы).

В заключении должны быть отражены основные результаты исследования и их соответствие техническому заданию.

В качестве примера приведем следующий вариант заключения.

Проведено исследование ЭЦ в трех режимах работы. В линейной ЭЦ (режим 1) расчет выполнен методом наложения решений ЭЦ с постоянным ИЭЭ и гармоническим ИЭЭ. Результаты расчетов проверены по балансу мощностей и векторным диаграммам.

В линейной ЭЦ (режим 2) расчет выполнен классическим (или операционным) методом. Корни $\alpha_1 = -2,1 \cdot 10^3 \frac{1}{с}$, $\alpha_2 = -5,1 \cdot 10^3 \frac{1}{с}$ вещественные отрицательные, переходный процесс аperiодический затухающий. Значения корней α_1, α_2 соответствуют значениям нулей p_1, p_2 сопротивления $Z_{ex}(p)$. Сформированы уравнения состояния.

В нелинейной ЭЦ по завершении режима 3 методом эквивалентного источника напряжения определены ток, напряжение, электрический заряд, магнитный поток в элементах ветви с НЭ.

В линейной (нелинейной – УИРС) ЭЦ проведено исследование переходного процесса методом компьютерного моделирования в среде Matlab.

Приложение 1

Изображения $F(p)$ и оригиналы $f(t)$ по Лапласу

N	$F(p)$	$f(t)$
1	$\frac{1}{P}$	1
2	$\frac{1}{p + \alpha}$	$e^{-\alpha t}$
3	$\frac{1}{p(p + \alpha)}$	$\frac{1 - e^{-\alpha t}}{\alpha}$
4	$\frac{1}{(p + \alpha)(p + \beta)}$	$\frac{e^{-\alpha t} - e^{-\beta t}}{\beta - \alpha}$
5	$\frac{1}{p(p + \alpha)(p + \beta)}$	$\frac{1}{\alpha \cdot \beta} + \frac{\beta \cdot e^{-\alpha t} - \alpha \cdot e^{-\beta t}}{\alpha \cdot \beta(\alpha - \beta)}$
6	$\frac{1}{(p + \delta)^2 + \omega^2}$	$\frac{1}{\omega} e^{-\delta t} \cdot \sin \omega t$
7	$\frac{1}{p[(p + \delta)^2 + \omega^2]}$	$\frac{1}{\omega_0^2} + \frac{1}{\omega_0 \cdot \omega} e^{-\delta t} \cdot \sin(\omega t - \varphi),$ где $\varphi = \arctg \frac{\omega}{-\delta}, \omega_0^2 = \delta^2 - \omega^2$
8	$\frac{p + \alpha}{(p + \delta)^2 + \omega^2}$	$\frac{1}{\omega} \cdot \sqrt{(\alpha - \delta)^2 + \omega^2} \cdot e^{-\delta t} \cdot \sin(\omega t + \varphi)$

Приложение 2

Применение программы Matlab к построению $u_C(t), i_L(t)$ по уравнениям состояния (корни α_1 и α_2 вещественные)

Для решения задачи на компьютере представляем систему уравнений переменных состояния (76) в матричной форме [8]:

$$\frac{d}{dt} \begin{vmatrix} u_C \\ i_L \end{vmatrix} = \begin{vmatrix} -a_{11} & -a_{12} \\ a_{21} & -a_{22} \end{vmatrix} \cdot \begin{vmatrix} u_C \\ i_L \end{vmatrix} + \begin{vmatrix} b_1 \\ b_2 \end{vmatrix} \cdot E \quad (86)$$

Матрица начальных условий:

$$\begin{vmatrix} U_C^+ \\ i_L^+ \end{vmatrix}^T = \begin{vmatrix} -115 & -0,95 \end{vmatrix}^T \quad (87)$$

Определяем собственные числа матрицы коэффициентов переменных состояния:

$$\det \left(\alpha \begin{vmatrix} 1 & 0 \\ 0 & 1 \end{vmatrix} - \begin{vmatrix} -a_{11} & -a_{12} \\ a_{21} & -a_{22} \end{vmatrix} \right) = \det \begin{pmatrix} \alpha + a_{11} & a_{12} \\ -a_{21} & \alpha + a_{22} \end{pmatrix}$$

Строим характеристическое уравнение и находим его корни:

$$\begin{aligned} \alpha^2 + (a_{11} + a_{22})\alpha + a_{11}a_{22} + a_{21}a_{12} &= 0; \\ \alpha_{1,2} &= -\frac{a_{11} + a_{22}}{2} \pm \sqrt{\left(\frac{a_{11} + a_{22}}{2}\right)^2 - (a_{11}a_{22} + a_{21}a_{12})} = \\ &= -\frac{(5,53 + 1,71) \cdot 10^3}{2} \pm \sqrt{\left(\frac{5,53 + 1,71}{2}\right)^2 \cdot 10^6 - (5,53 \cdot 1,71 \cdot 10^6 + 16,8 \cdot 84,2 \cdot 10^3)} = \\ &= -3,62 \cdot 10^3 \pm 1,49 \cdot 10^3; \\ \alpha_1 &= (-3,62 + 1,49) \cdot 10^3 = -2,1 \cdot 10^3 \frac{1}{c}; \\ \alpha_2 &= (-3,62 - 1,49) \cdot 10^3 = -5,1 \cdot 10^3 \frac{1}{c}. \end{aligned}$$

Значения корней α_1, α_2 соответствуют (30).

Далее находим следующие величины:

- постоянные времени ЭЦ

$$\tau_1 = \frac{1}{|\alpha_1|} = 0,48 \cdot 10^{-3} c$$

$$\tau_2 = \frac{1}{|\alpha_2|} = 0,19 \cdot 10^{-3} c$$

- шаг интегрирования

$$\Delta t < 0,1 \cdot \tau_{\min}, \quad \text{где } \tau_{\min} = \tau_2, \quad \text{принимаем } \Delta t = 0,01 \cdot 10^{-3} c$$

- временной интервал интегрирования

$$t_{\text{int}} = 3\tau_{\max}, \quad \text{где } \tau_{\max} = \tau_1, \quad \text{принимаем } t_{\text{int}} = 1,5 \cdot 10^{-3} c$$

- число шагов интегрирования

$$N = \frac{t_{\text{int}}}{\Delta t} = \frac{1,5 \cdot 10^{-3}}{0,01 \cdot 10^{-3}} = 150$$

Начальные условия переходного процесса:

$$U_C^+ = -115 \text{ В}, \quad I_L^+ = -0,95 \text{ А}$$

Для контроля расчета используем установившиеся значения:

$$U_{C \text{ уст}} = 78,8 \text{ В}, \quad I_{L \text{ уст}} = -0,95 \text{ А}.$$

Моделирование переходного процесса выполняется в пакете программ Matlab.

Программа расчета

```
% Программа расчета ЭЦ while 1 u=menu('Ваш выбор:', 'Ввод матриц', 'Расчет', 'Настройка графиков', 'Выход'); switch u case 1 A=input('Матрица A=') B=input('Матрица B=') x0=input('Начальные условия =') E=input('Напряжение питания ='); t=0:0.1:1; case 2 C=eye(size(A)); D=zeros(size(C,1),size(B,2)); sys=ss(A,B,C,D); U=E+0*t; y=lsim(sys,U,t,x0); subplot(2,1,1) plot(t,y(:,1)) grid % xlabel('Время t, с'); ylabel('Напряжение на конденсаторе C, В '); subplot(2,1,2) plot(t,y(:,2)) grid xlabel('Время t, с'); ylabel('Ток в индуктивности L, А'); case 3 h=input('Временной шаг ='); T=input('Конечное время ='); t=0:h:T; case 4 disp('Конец') break end end
```

В командном окне представлено меню:

«Ваш выбор», «Ввод матриц», «Расчет», «Настройка графиков», «Выход».

1. В меню выбрать «Ввод матриц».
2. Ввести матрицы коэффициентов уравнения состояния, начальные условия, величину ЭДС E .
3. В меню выбрать «Расчёт».
4. Получить графики $u_C(t), i_L(t)$ в отдельном окне.
5. В меню выбрать «Настройка графиков».
6. Обозначить оси:
7. x label («время, пробел, с»);
 y label («напряжение U_C пробел, В»);
 y label («ток I_L , пробел, А»).
8. В меню выбрать «Выход».

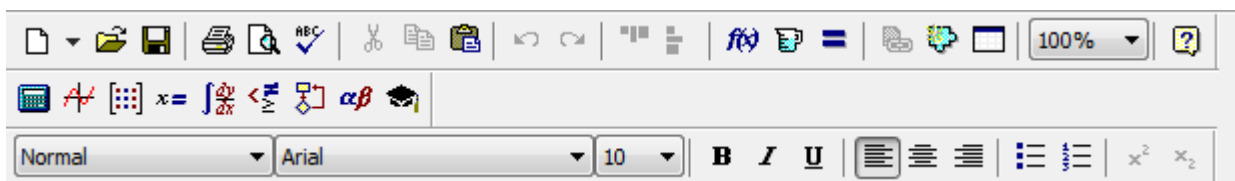
Для исследуемого примера ЭЦ полученные зависимости $u_C(t), i_L(t)$ приведены на рис.19.

Приложение 3

Применение программы Mathcad к построению $i_C(t)$, $i_L(t)$ (корни α_1 и α_2 комплексно- сопряженные)

1) Запускаем «Mathcad 15»

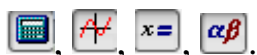
2) На приборной панели:



активируем инструменты :



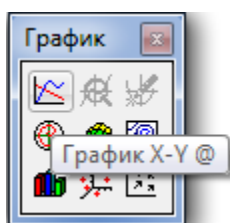
А именно:



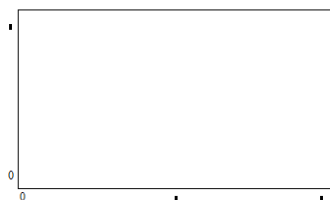
3) Вводим функцию:

$$I(t) := 6.0 - 3.66 \cdot e^{-500 \cdot t} \cdot \sin(3.0 \cdot 10^3 \cdot t + 0.96)$$

4) Ниже вставляем график типа «X-Y».



Если все операции выполнены верно, то видим:



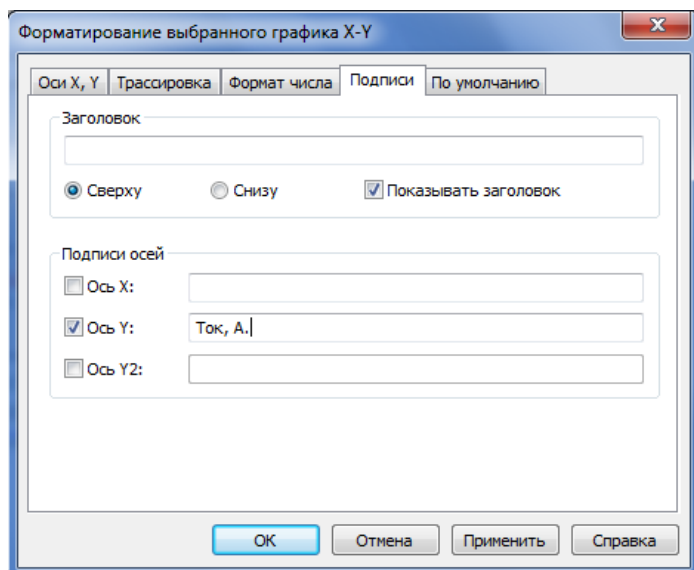
5) Вводим параметры $I(t)$ и t на оси Y и X соответственно.

Пределы для графика выбираем следующие:

от 0 до 10 для оси Y ,

от 0 до 0,01 для оси X .

б) Щелкаем правой кнопкой мыши по графику, выбираем «Формат».



Ставим флажок рядом с «Ось Y». Даём название для оси Y «Ток, А».

Ставим флажок рядом с «Ось X». Даём название для оси X «t, с»

Аналогично получаем график зависимости $U_C(t)$. Полученные зависимости приведены на рис. 20.

Библиографический список

1. Атабеков Г.Н. Теоретические основы электротехники. Линейные электрические цепи: Учебник для вузов. Лань, 2009.
2. Атабеков Г.Н. Теоретические основы электротехники. Нелинейные электрические цепи. Электромагнитное поле: учебное пособие / Г.Н.Атабеков – Санкт-Петербург: Москва: Краснодар: Лань, 2010-432с.
3. Лавров В.Я. Линейные электрические цепи. Установившиеся режимы: учебное пособие/В.Я. Лавров – СПб: ГУАП 2010.
4. Лавров В.Я. Основы теории цепей. Переходные процессы: учебное пособие/В.Я.Лавров –СПб: ГУАП, 2012
5. Колесников В.В. Основы теории цепей. Установившиеся режимы. Текст лекций. Санкт-Петербург, ГУАП, 2006

6. Колесников В.В. Основы теории цепей. Переходные процессы четырехполюсника: текст лекций. СПб, ГУАП, 2006.
7. Атанов В.А. Основы теории цепей. Расчет цепей с управляемыми источниками. Методические указания к курсовой работе. СПб, ГУАП, 2011.
8. Герман-Галкин С.Г. Matlab. Проектирование мехатронных систем на ПК. - СПб, КОРОНА-Век, 2008.

Содержание

Введение.....	3
Техническое задание на курсовую работу.....	3
Варианты заданий.....	7
1. Исследование линейной ЭЦ с постоянным и гармоническим ИЭЭ (стационарный режим).....	12
1.1 Обоснование выбора метода расчета.....	12
1.2 Расчет ЭЦ с постоянным ИЭЭ.....	13
1.2.1 Расчет ЭЦ методом эквивалентных преобразований.....	13
1.2.2 Расчет ЭЦ методом узловых напряжений.....	15
1.3 Расчет ЭЦ с гармоническим ИЭЭ.....	17
1.3.1 Расчет ЭЦ в комплексной форме методом узловых напряжений.....	17
1.3.2 Построение векторных диаграмм токов и напряжений на комплексной плоскости.....	22
1.4 Расчет результирующих токов и напряжений ветвей ЭЦ ($t = 0^-$).....	24
2. Исследование переходного процесса в линейной ЭЦ классическим методом.....	24

2.1 Составление уравнений переходного процесса.....	24
2.2 Определение начальных значений токов и напряжений ($t = 0^+$).....	26
2.3 Определение установившихся значений токов и напряжений ($t \rightarrow \infty$).....	27
2.4 Формирование дифференциальных уравнений.....	29
2.5 Определение корней α_1 и α_2 характеристического уравнения.....	30
2.6 Определение нулей p_1 и p_2 операционного сопротивления $Z_{BX}(p)$	32
2.7 Определение постоянных интегрирования (корни α_1 и α_2 веществен- ные).....	35
2.8 Определение постоянных интегрирования (корни α_1 и α_2 комплексно- сопряженные).....	37
3. Исследование переходного процесса в линейной ЭЦ операционным мето- дом.....	40
3.1 Построение операционной схемы замещения.....	40
3.2 Определение изображений $U_C(p), I_L(p)$	41
3.3 Определение оригиналов $u_C(t), i_L(t)$	43
4. Формирование уравнений состояния ЭЦ.....	46
4.1 Составление уравнений состояния линейной ЭЦ.....	46
4.2 Составление уравнений состояния нелинейной ЭЦ (УИРС).....	47
4.3 Расчет нелинейной ЭЦ в установившемся режиме.....	49
5. Компьютерное исследование переходного процесса в линейной ЭЦ.....	51
5.1 Построение переходного процесса (корни α_1, α_2 - веществен- ные).....	51

5.2 Построение переходного процесса (корни α_1, α_2 комплексно- сопряженные).....	53
Заключение (выводы).....	54
Приложение 1. Изображения $F(p)$ и оригиналы $f(t)$ по Лапласу.....	55
Приложение 2. Применение программы Matlab к построению $u_C(t), i_L(t)$ по уравнениям состояния (корни α_1 и α_2 вещественные).....	55
Приложение 3. Применение программы Mathcad к построению $u_C(t), i_L(t)$ (корни α_1 и α_2 комплексно- сопряженные).....	58
Библиографический список.....	59